

Characterictics of turbulence observed in the low troposphere over the LIAISE highly-contrasted area

Emmeline FRANCOIS (Master student then)
Guylaine CANUT (CNRM), Marie LOTHON (LAERO)





20 km

30 km

Surface patches should be at-least the size of BL height to influence BL characteristics
(Shen and Leclerc, 1995)

Kilometer scale surface heterogeneity can induce secondary meso-scale circulations
(Avissar and Schmidt 1998)

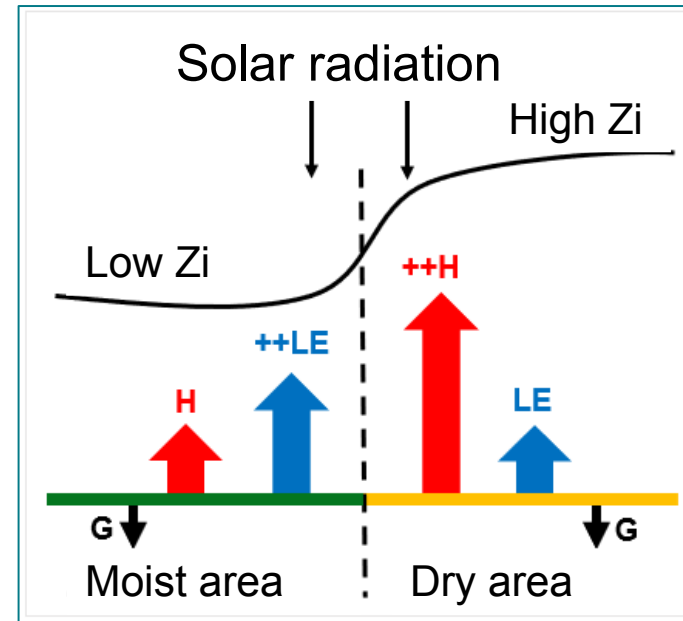


© Google maps

Introduction

CBL = Convective Boundary Layer

Z_i = CBL depth



⇒ Which turbulent processes involved over two very contrasted surfaces ?

Outline

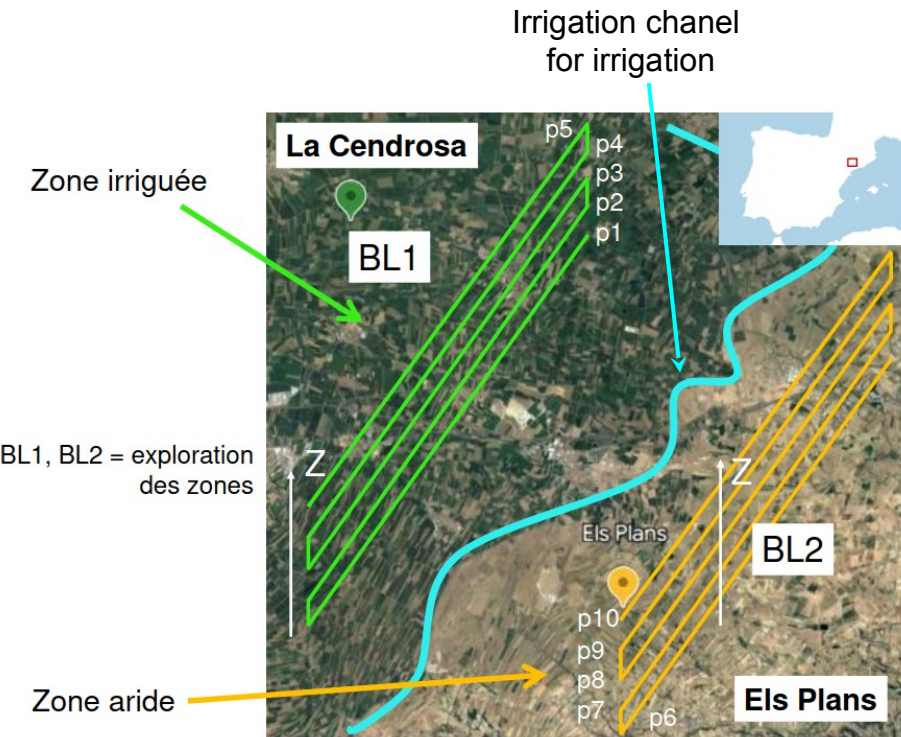
- The observations used
- Evolution of the CBL over the 8 IOPs
- CBL turbulent structure over the two contrasted surfaces

Period of interest and observations used

Period of interest : 8 POI

(15, 16, 17, 20, 21, 22, 27 et 28 July 2021)

Area of interest : La Cendrosa & Els Plans



Period of interest and observations used

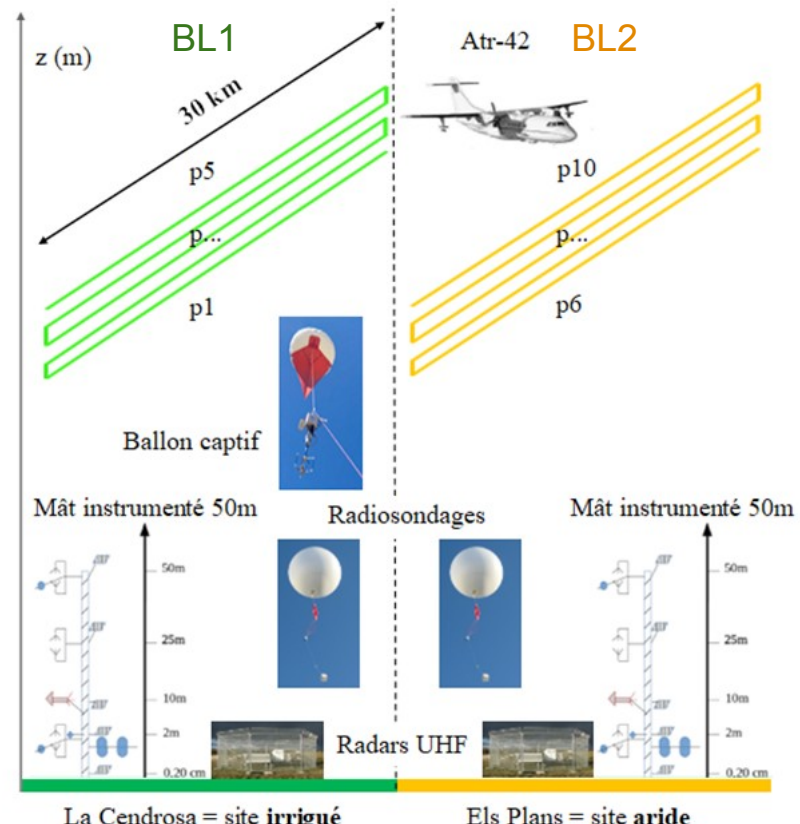
Period of interest : 8 POI

(15, 16, 17, 20, 21, 22, 27 et 28 July 2021)

Area of interest : La Cendrosa & Els Plans

Instrumentation used :

- Instrumented towers (50m)
- UHF wind profilers
- Tethered balloon (only at La Cendrosa)
- Radiosoundings
- ATR-42 aircraft (flights 11h-15h UTC)



Period of interest and observations used

Period of interest : 8 POI

(15, 16, 17, 20, 21, 22, 27 et 28 July 2021)

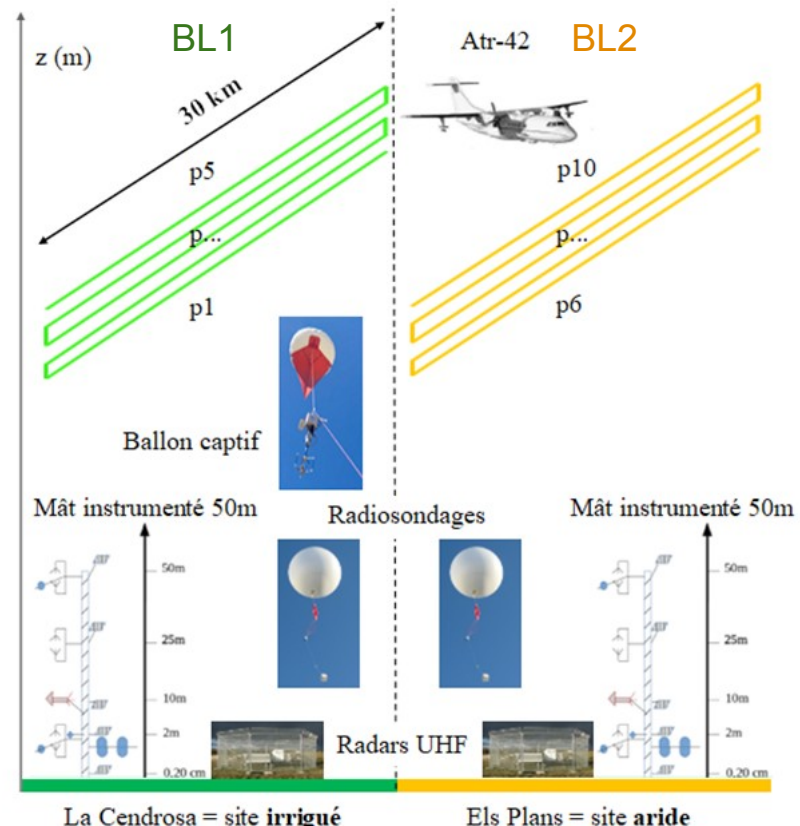
Area of interest : La Cendrosa & Els Plans

Instrumentation used :

- Instrumented towers (50m)
- UHF wind profilers
- Tethered balloon (only at La Cendrosa)
- Radiosoundings
- ATR-42 aircraft (flights 11h-15h UTC)

Access to measurements or estimates of :

- Temperature, Moisture, Wind
- At high frequency → Turbulent moment, fluxes
- Radiation



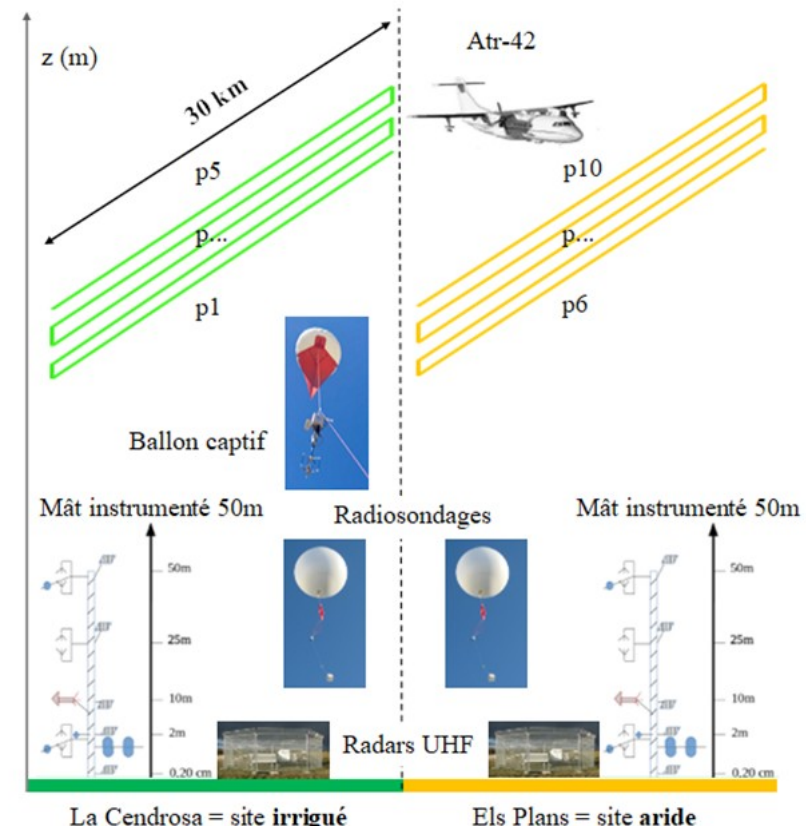
Période d'intérêt et moyens disponibles pour l'étude

Period of interest : 8 POI

(15, 16, 17, 20, 21, 22, 27 et 28 July 2021)

Area of interest : La Cendrosa & Els Plans

Objective ⇒ To study the vertical structure of turbulence from instrumental synergy based on the 8 IOPs



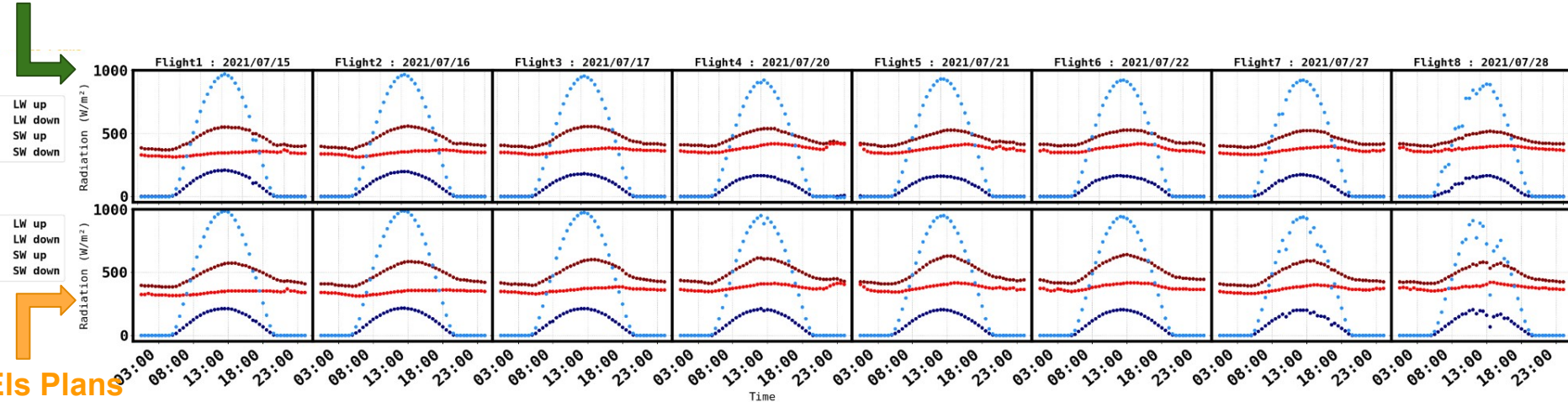
Evolution of the CBL over each surface

Evolution of the CBL over each surface

LC = La Cendrosa
EP = Els Plans

Time series of radiation components (W.m^{-2}) from 50 m towers (top)

La Cendrosa



⇒ conditions of dry convection are similar all days

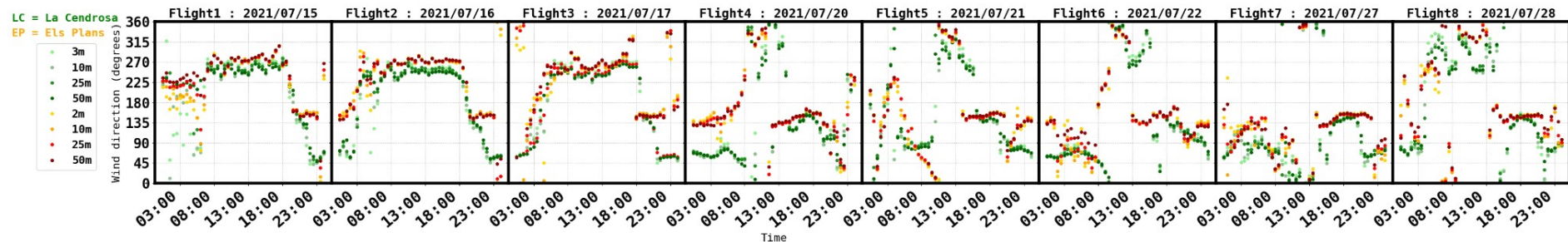
→ similar forcing of radiation from one day to the other

Evolution de la CLA au-dessus de chaque surface

LC = La Cendrosa
EP = Els Plans

Time series of wind direction (degrees) from 50 m towers

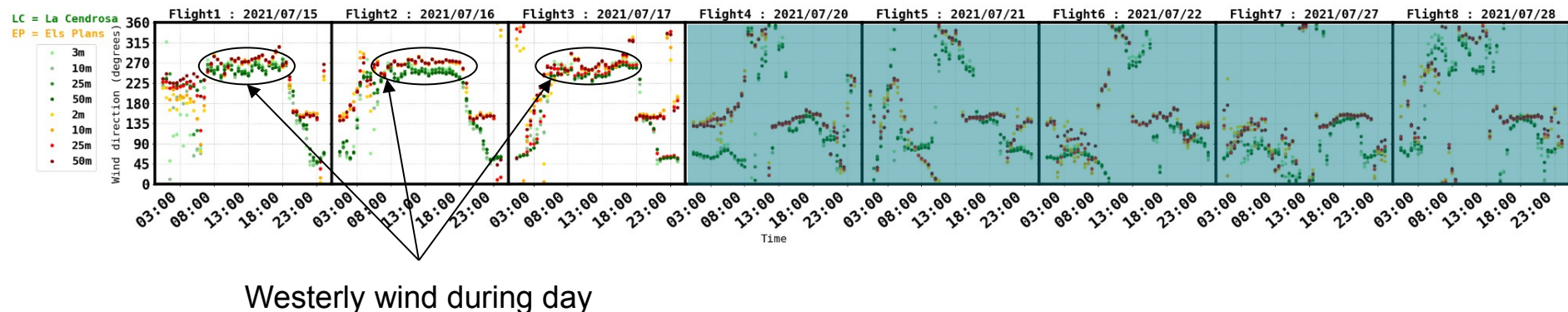
Color convention for all figures!



Evolution de la CLA au-dessus de chaque surface

LC = La Cendrosa
EP = Els Plans

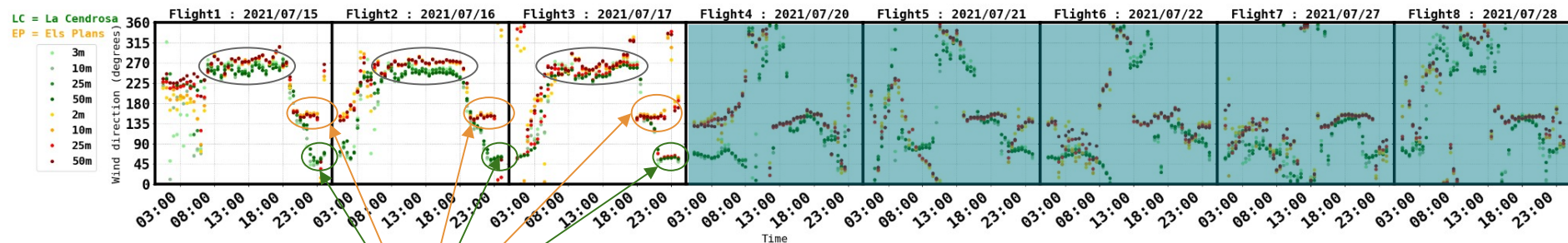
Time series of wind direction (degrees) from 50 m towers



Evolution de la CLA au-dessus de chaque surface

LC = La Cendrosa
EP = Els Plans

Time series of wind direction (degrees) from 50 m towers



Westerly wind during day

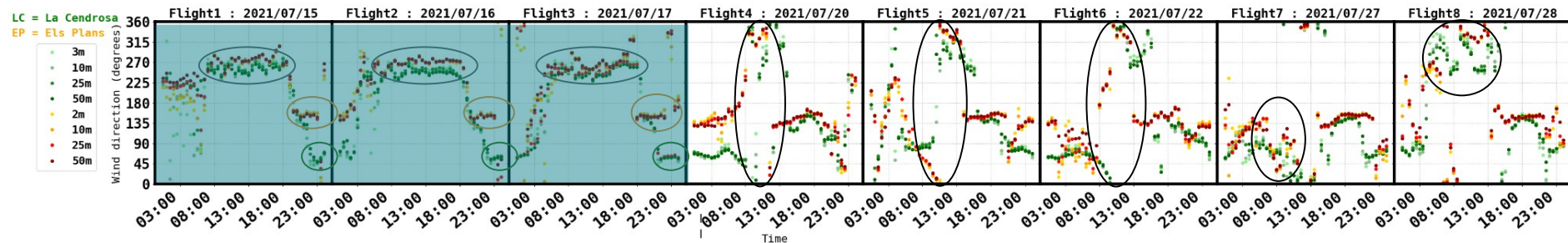
Wind veering during nighttime
Different according to surface

- ⇒ Southerly Els Plans
- ⇒ North-Easterly at La Cendrosa

Evolution de la CLA au-dessus de chaque surface

LC = La Cendrosa
EP = Els Plans

Time series of wind direction (degrees) from 50 m towers



Vent d'Ouest en journée

Changement de direction la nuit selon la surface

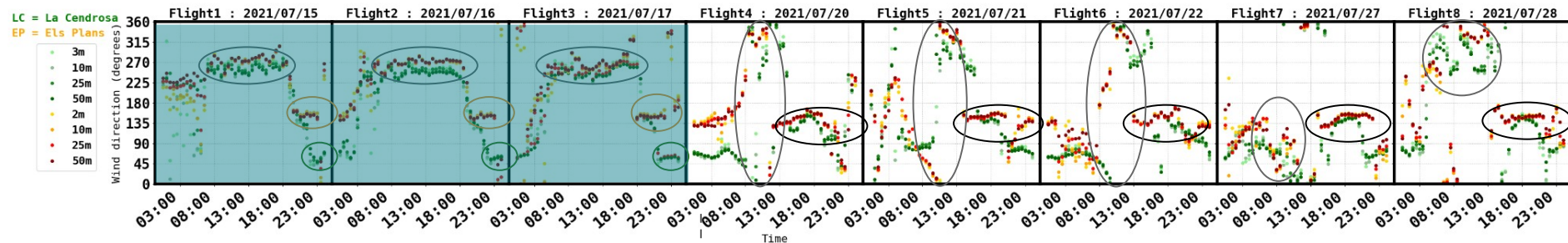
- ⇒ Sud à Els Plans
- ⇒ Nord-Est à La Cendrosa

Wind direction more variable during the day (weak) :
⇒ Northerly during morning

Evolution de la CLA au-dessus de chaque surface

LC = La Cendrosa
EP = Els Plans

Time series of wind direction (degrees) from 50 m towers



Vent d'Ouest en journée

Changement de direction la nuit selon la surface

- ⇒ Nord-Est à La Cendrosa
- ⇒ Sud à Els Plans

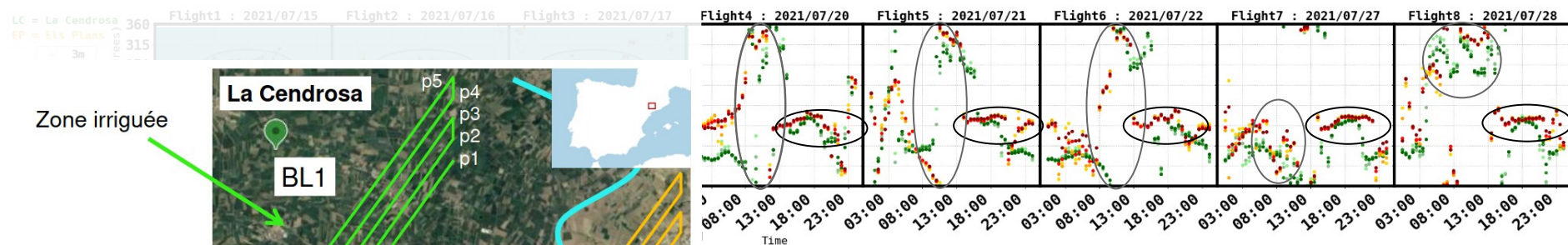
Wind direction more variable during the day (weak) :

- ⇒ Northerly during morning
- ⇒ Then veering Southeasterly around 1300 UTC:
Arrival of La Marinada

Evolution de la CLA au-dessus de chaque surface

LC = La Cendrosa
EP = Els Plans

Time series of wind direction (degrees) from 50 m towers

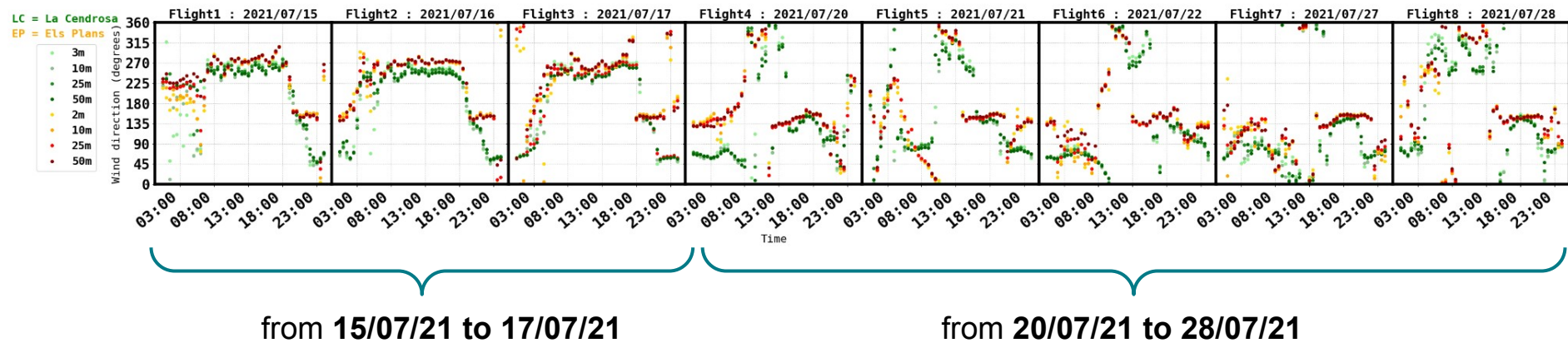


Wind direction more variable during the day (weak) :
⇒ Northerly during morning
⇒ Then veering Southeasterly around 1300 UTC:
Arrival of La Marinada

Evolution de la CLA au-dessus de chaque surface

LC = La Cendrosa
EP = Els Plans

Time series of wind direction (degrees) from 50 m towers

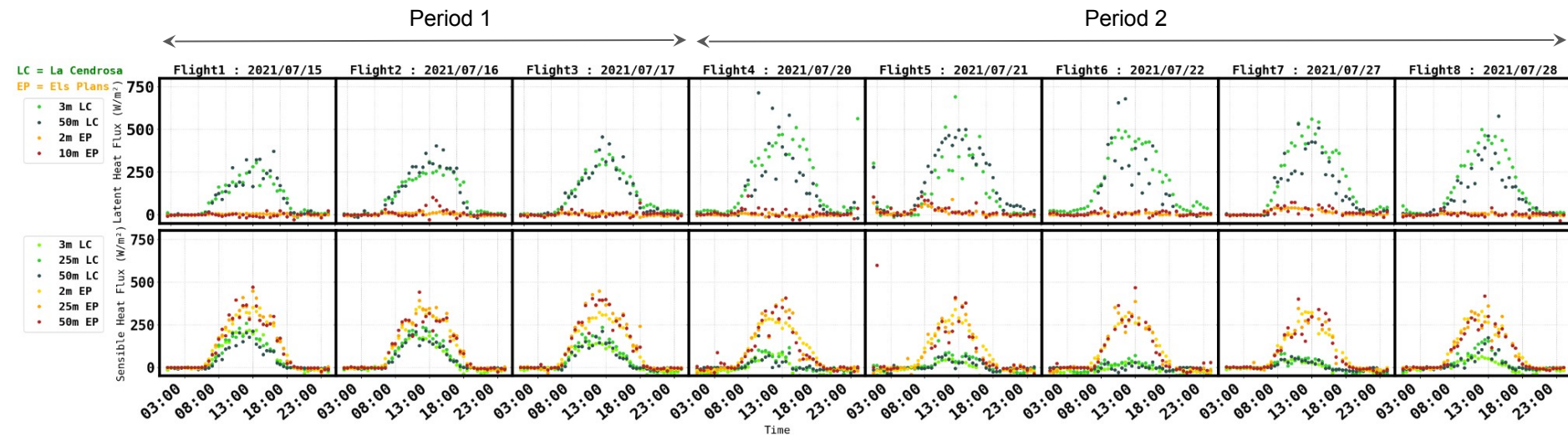


⇒ Distinction of two periods according to wind direction daytime evolution

Evolution de la CLA au-dessus de chaque surface

**LC = La Cendrosa
EP = Els Plans**

Time series of **latent heat flux LE** (top) and **sensible heat flux H** (bottom) in W/m², from 50 m towers

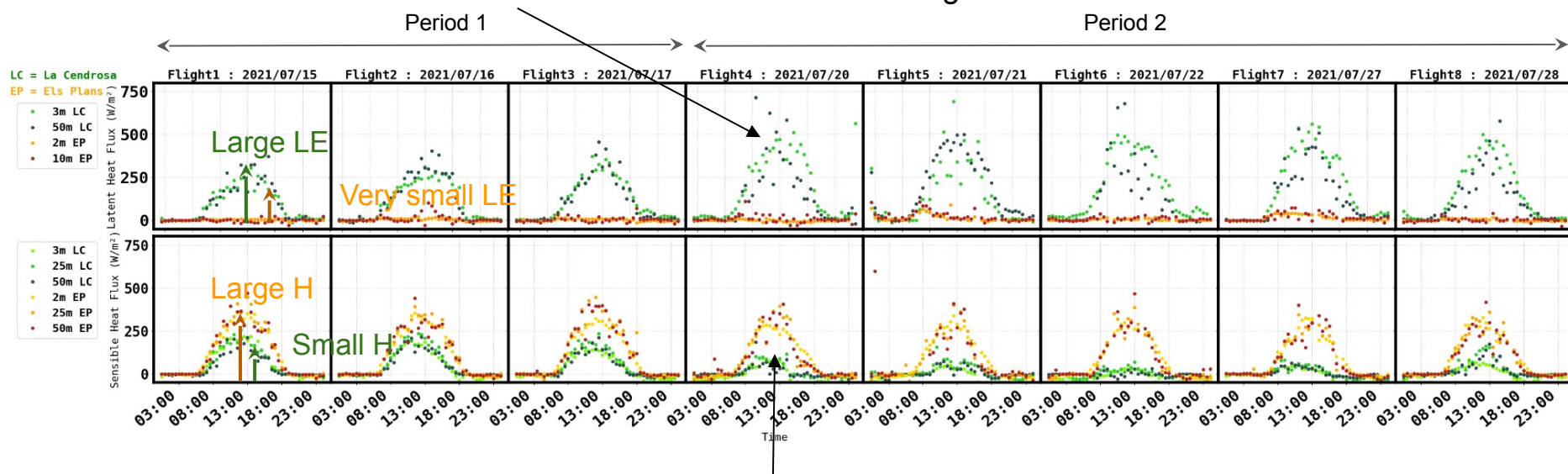


Evolution de la CLA au-dessus de chaque surface

LC = La Cendrosa
EP = Els Plans

Série temporelle mât des flux de **chaleur latente LE** (en haut) et **sensible H** (en bas) en W/m²

Intensification of LE at La Cendrosa starting 20/07 and LE almost zero at Els Plans

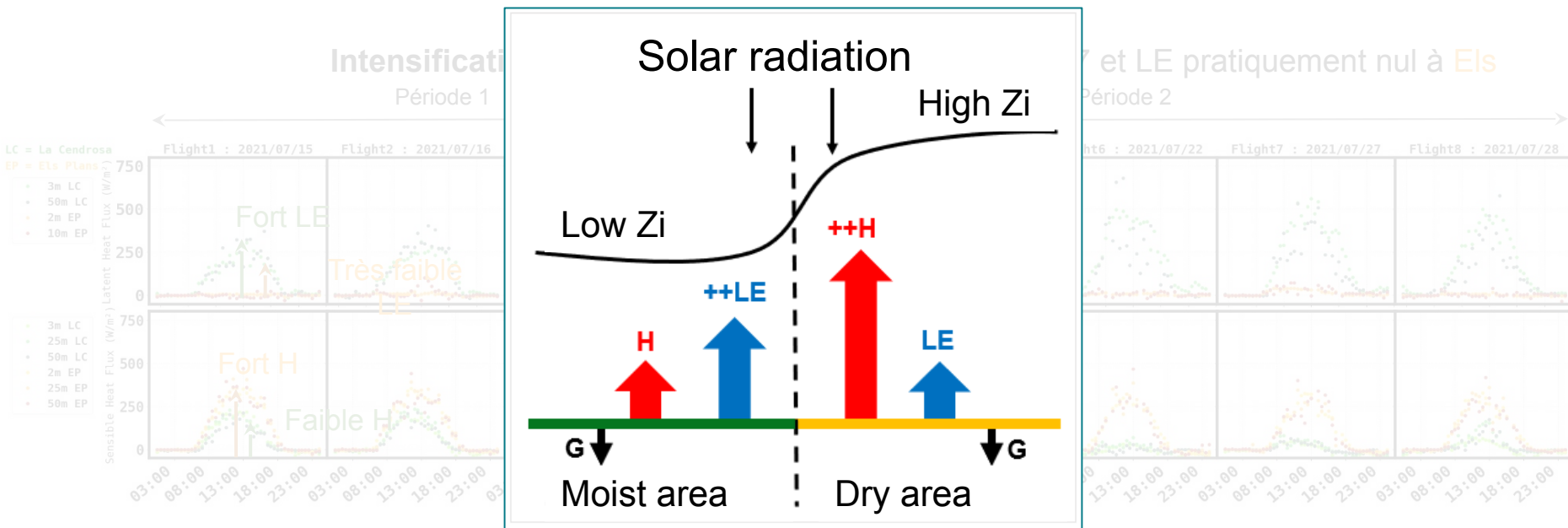


Decrease of H at La Cendrosa and H remains similar at Els Plans

Evolution de la CLA au-dessus de chaque surface

LC = La Cendrosa
EP = Els Plans

Série temporelle mât des flux de chaleur latente LE (en haut) et sensible H (en bas) en W/m²

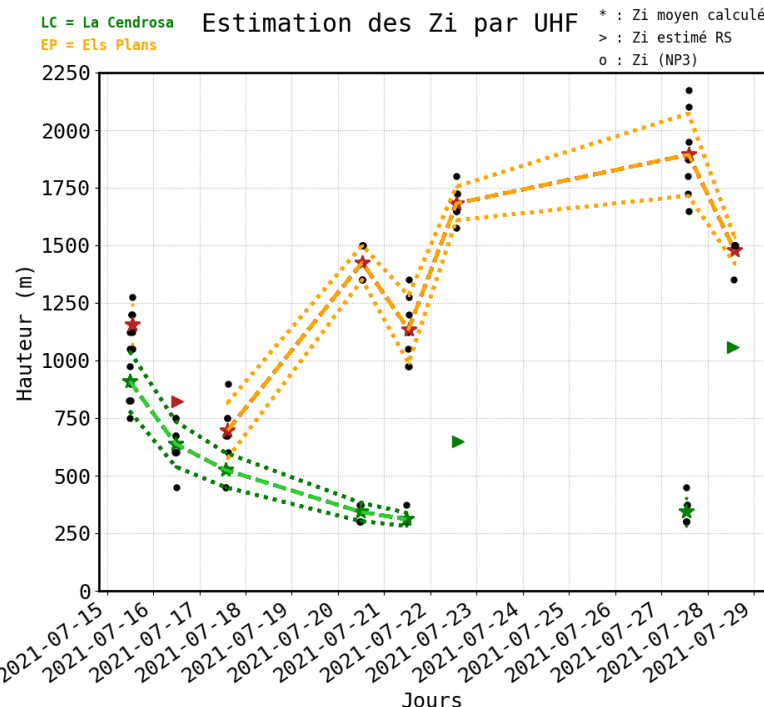


Affaiblissement du H à La Cendrosa et H similaire à Els Plans

Evolution de la CLA au-dessus de chaque surface

LC = La Cendrosa
EP = Els Plans

Estimation of Zi over each surface, based on CALOTRITON algorithm (*Philibert et al. 2024*)



- ⇒ CBL depth increases over the arid area
 - ⇒ Thin CBL over the moist area

--★-- averaged Zi over the duration of the ATR exploration over La Cendrosa

· · · · Standard deviation

--★-- Averaged Zi over the duration of the ATR exploration over Els Plans

· · · · Standard deviation

Subjectives estimates

Turbulence observed over the contrasted surface

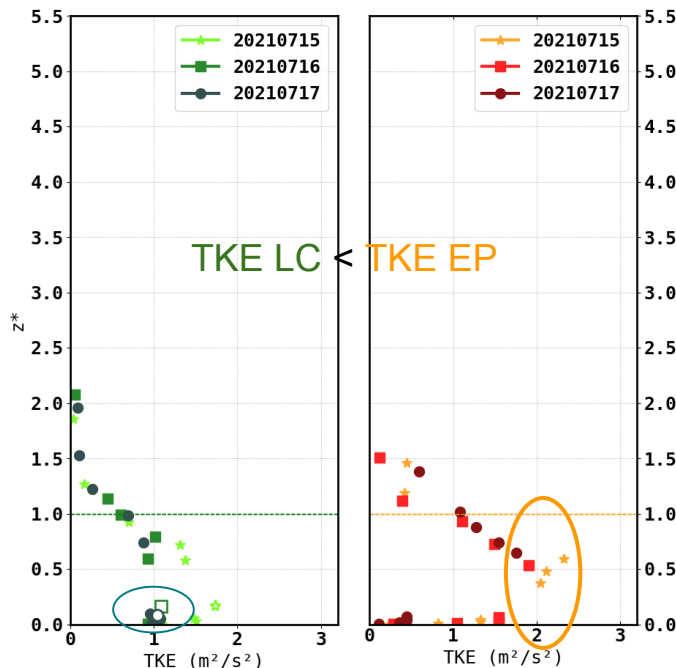
Turbulent Kinetic Energy

Zi EP ~ [750 m ; 2000 m]
 Zi LC ~ [300 m ; 1000 m]

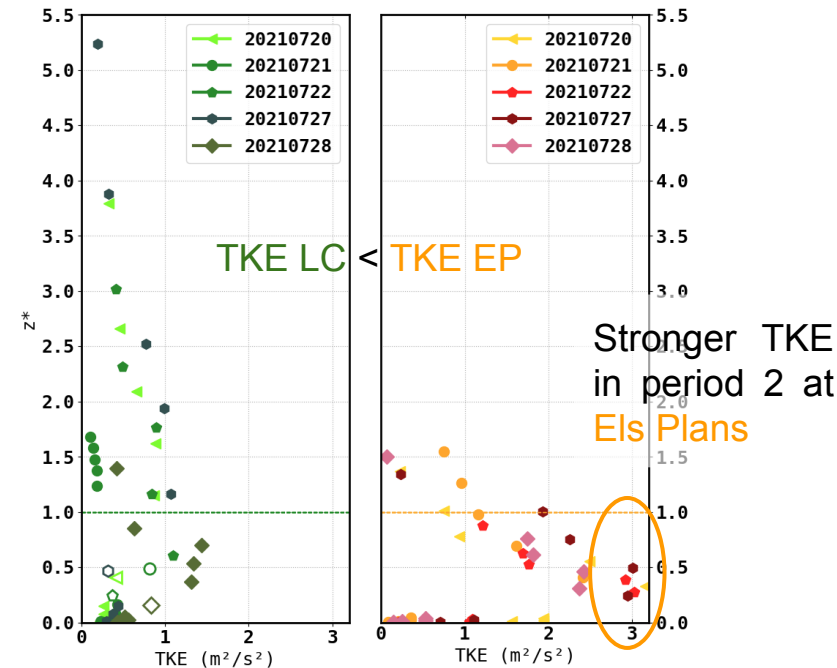
LC = La Cendrosa
 EP = Els Plans

!! Height is normalized by Zi !!

Period 1



Period 2



Tethered balloon

Distinction in two periods confirmed here

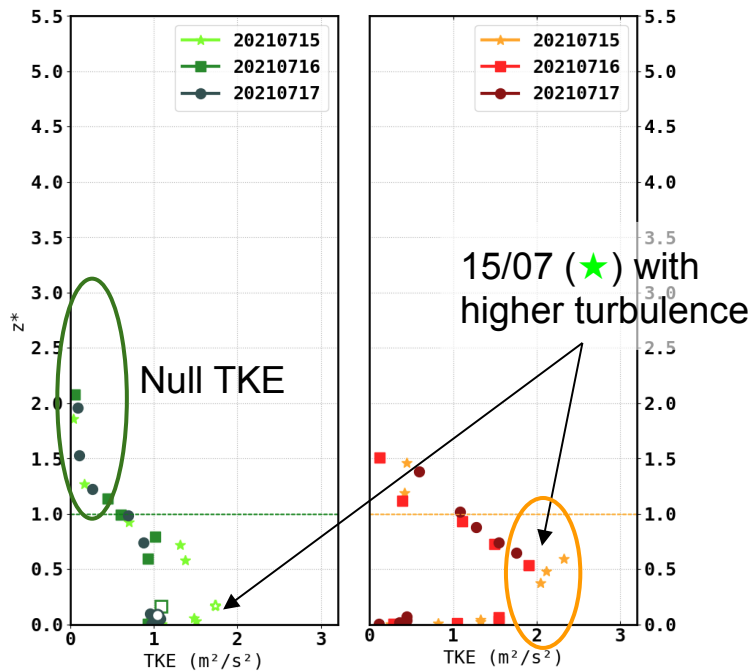
Turbulent Kinetic Energy

Zi EP ~ [750 m ; 2000 m]
 Zi LC ~ [300 m ; 1000 m]

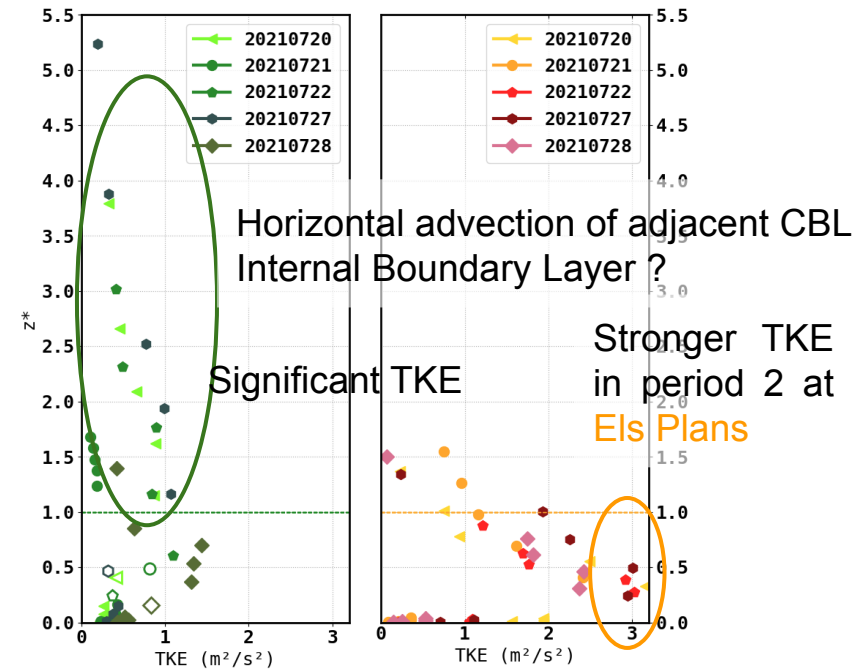
LC = La Cendrosa
 EP = Els Plans

!! Height is normalized by Zi !!

Period 1



Period 2

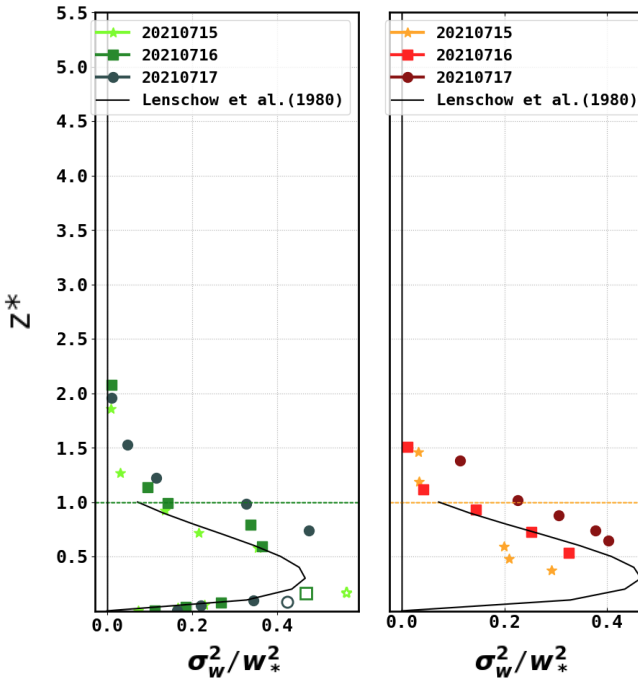


Normalized vertical velocity variance

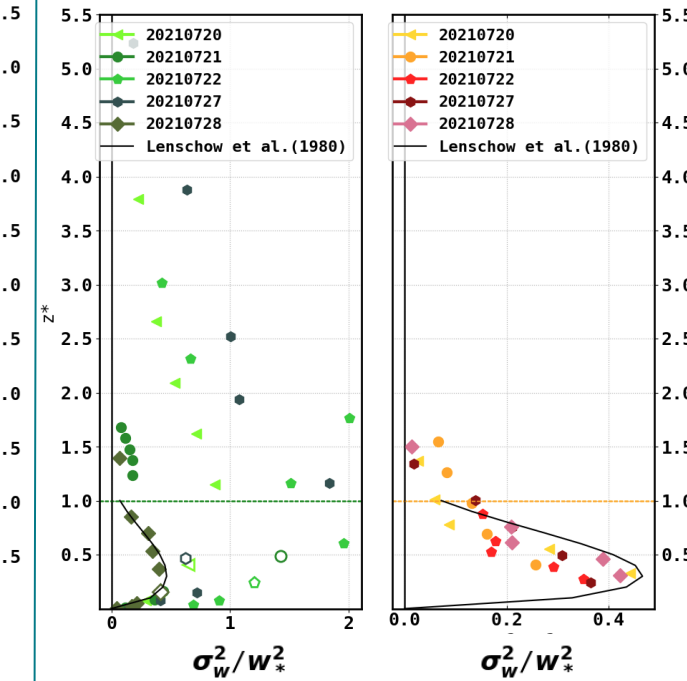
Zi EP ~ [750 m ; 2000 m]
 Zi LC ~ [300 m ; 1000 m]

LC = La Cendrosa
 EP = Els Plans

Period 1



Period 2



Convective velocity scale

$$w_* = \left(\frac{gZ_i}{\bar{\theta}} (w'\theta')_s \right)^{\frac{1}{3}}$$

Lenschow et al (1980)

⇒ takes into account updraft
from ground and downdrafts
from CBL top

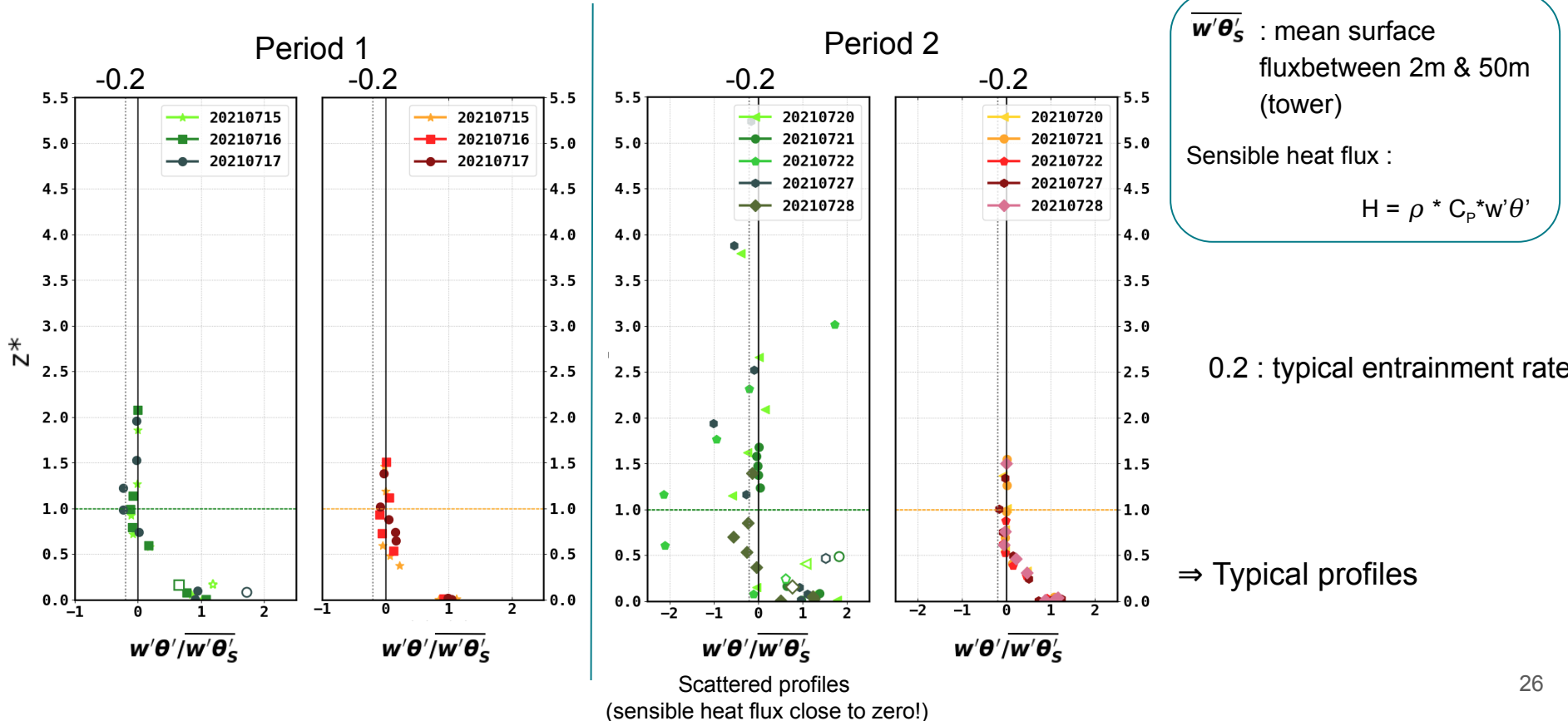
Maximum ~0,4 z_*

Typical profile of σ_w^2

Normalized heat vertical transport

Zi EP ~ [750 m ; 2000 m]
 Zi LC ~ [300 m ; 1000 m]

LC = La Cendrosa
 EP = Els Plans



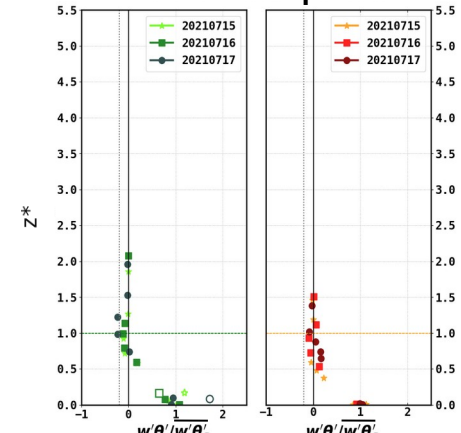
Normalized heat vertical transport and skewnesses

Zi EP ~ [750 m ; 2000 m]
Zi LC ~ [300 m ; 1000 m]

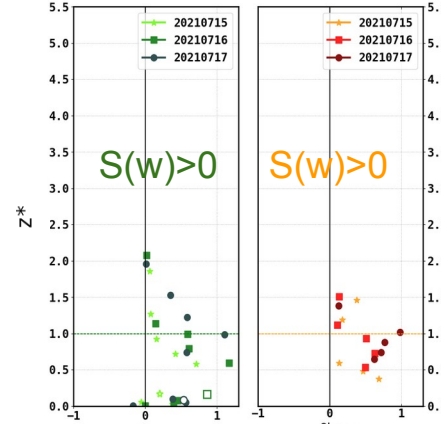
LC = La Cendrosa
EP = Els Plans

Period 1

Heat transport

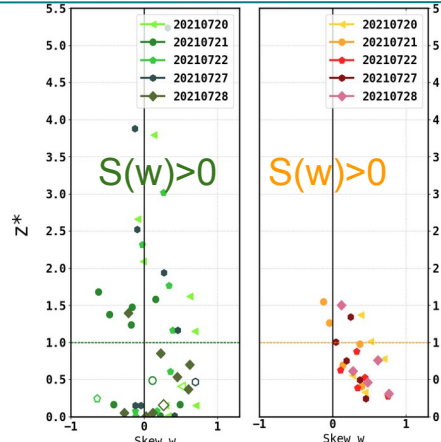
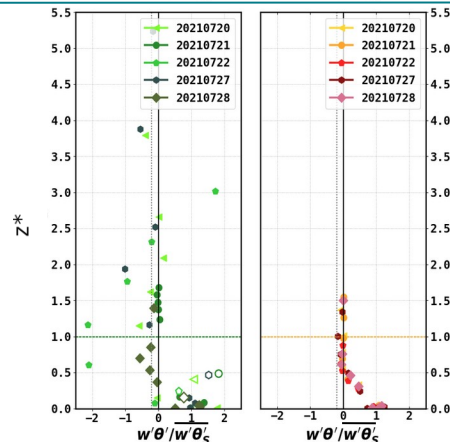


Skewness w



Skewness → sign of largest fluctuations

Period 2



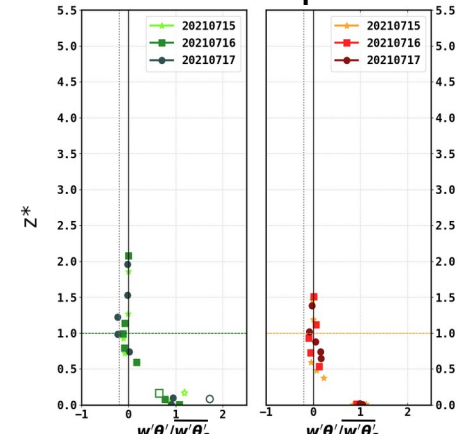
Normalized heat vertical transport and skewnesses

Zi EP ~ [750 m ; 2000 m]
Zi LC ~ [300 m ; 1000 m]

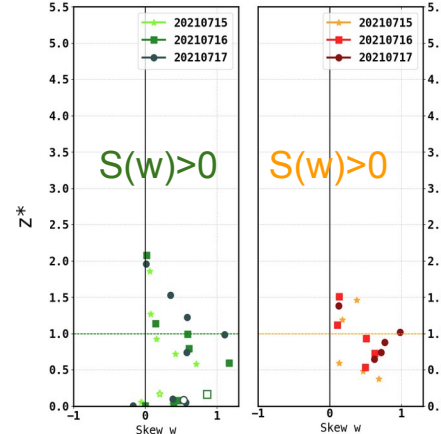
LC = La Cendrosa
EP = Els Plans

Period 1

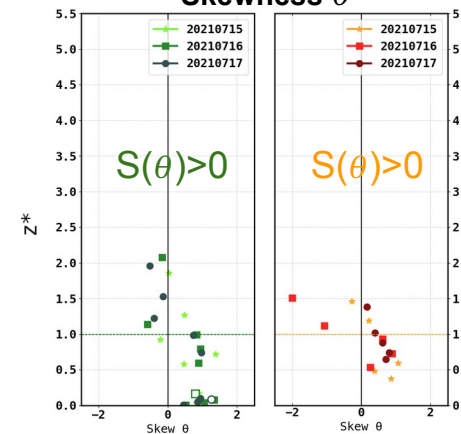
Heat transport



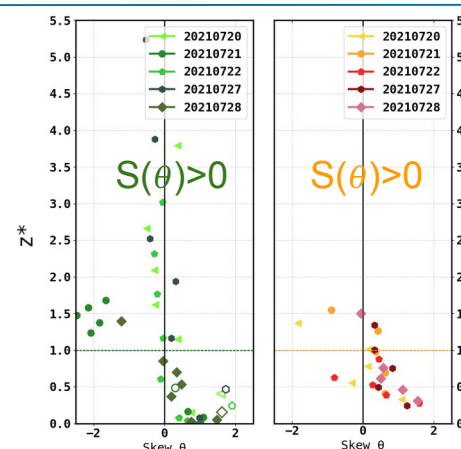
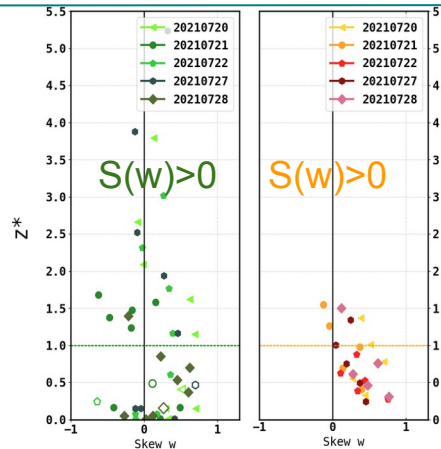
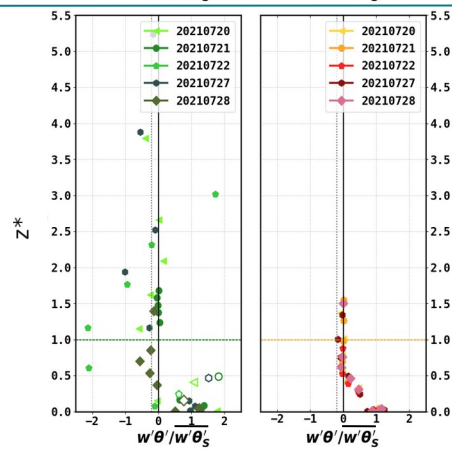
Skewness w



Skewness θ



Period 2

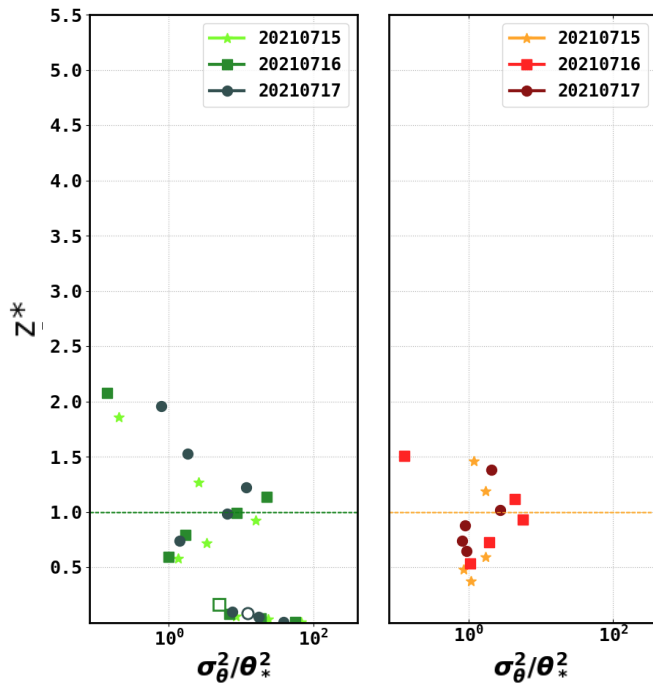


Normalized temperature variance

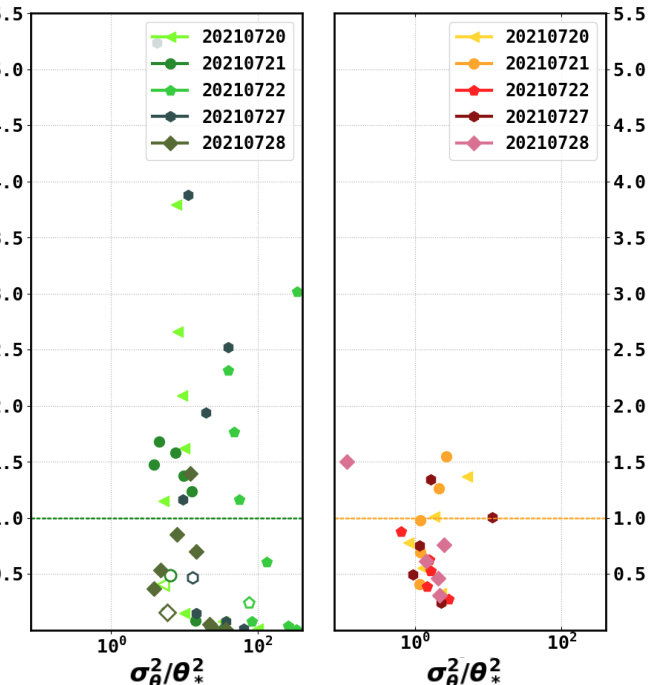
Zi EP ~ [750 m ; 2000 m]
 Zi LC ~ [300 m ; 1000 m]

LC = La Cendrosa
 EP = Els Plans

Period 1



Period 2



Potential temperature scale

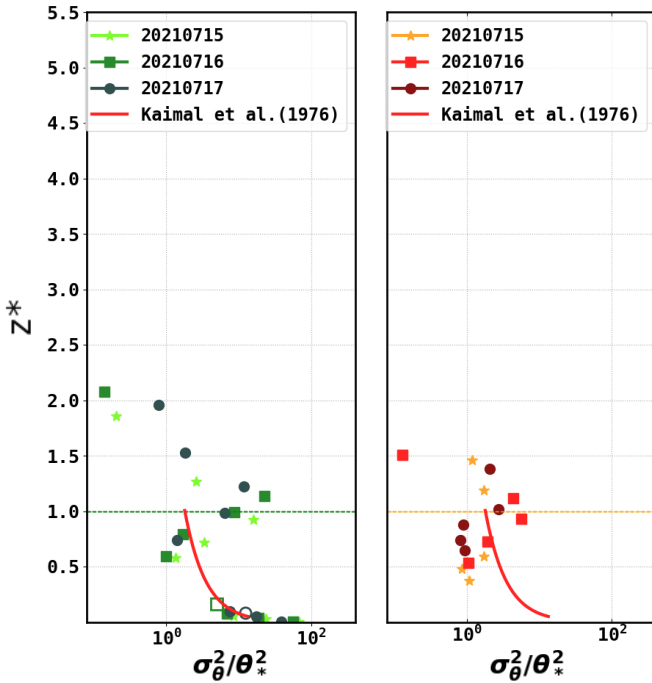
$$\theta_* = \frac{(\overline{w' \theta'})_s}{W_*}$$

Normalized temperature variance

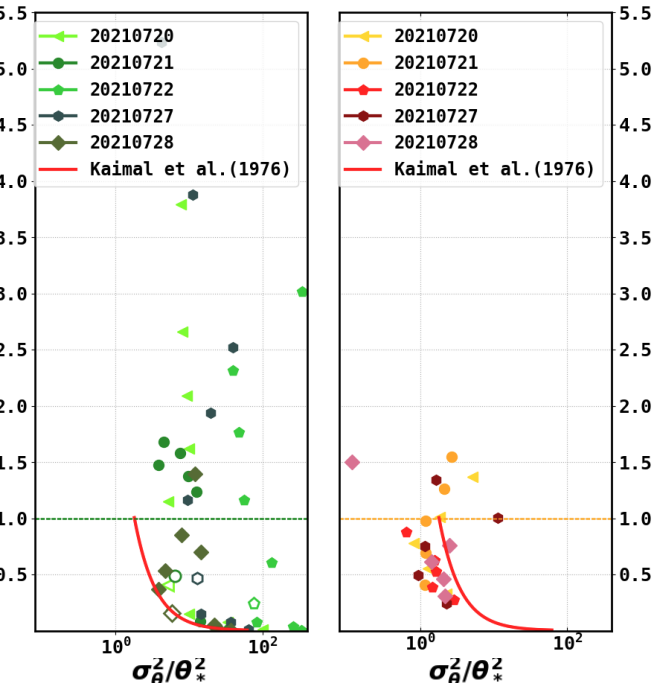
Zi EP ~ [750 m ; 2000 m]
 Zi LC ~ [300 m ; 1000 m]

LC = La Cendrosa
 EP = Els Plans

Period 1



Period 2



Kaimal et al (1976)

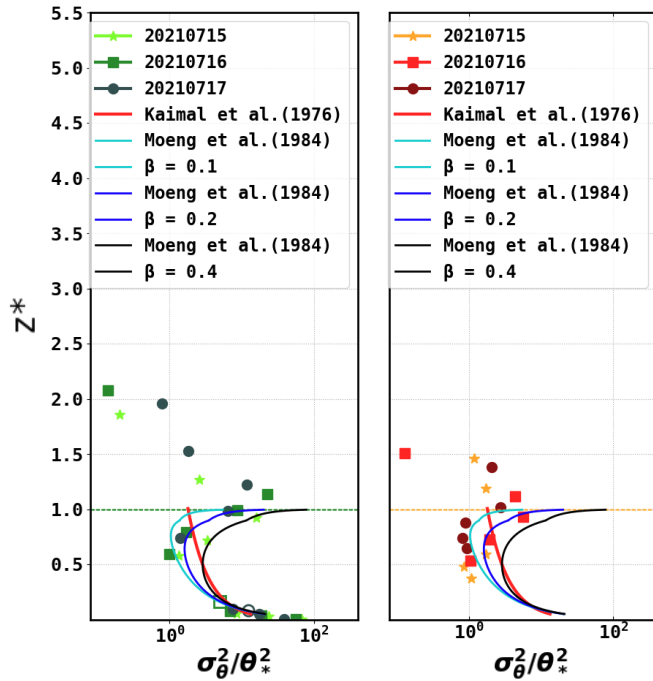
⇒ takes account of free convection
 (valid up to 0.1 Zi)

Normalized temperature variance

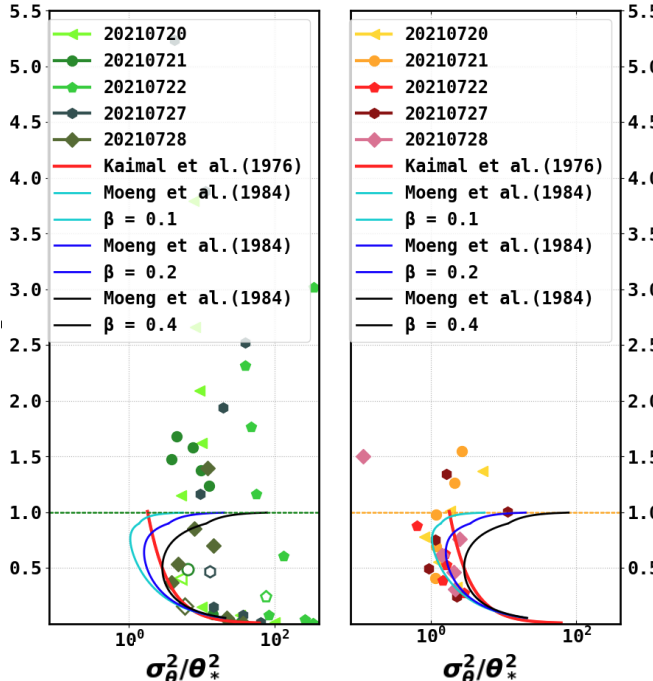
Zi EP ~ [750 m ; 2000 m]
 Zi LC ~ [300 m ; 1000 m]

LC = La Cendrosa
 EP = Els Plans

Period 1



Period 2



Kaimal et al (1976)

⇒ takes account of free convection
 (valid up to 0.1 Zi)

Moeng et al. (1984)

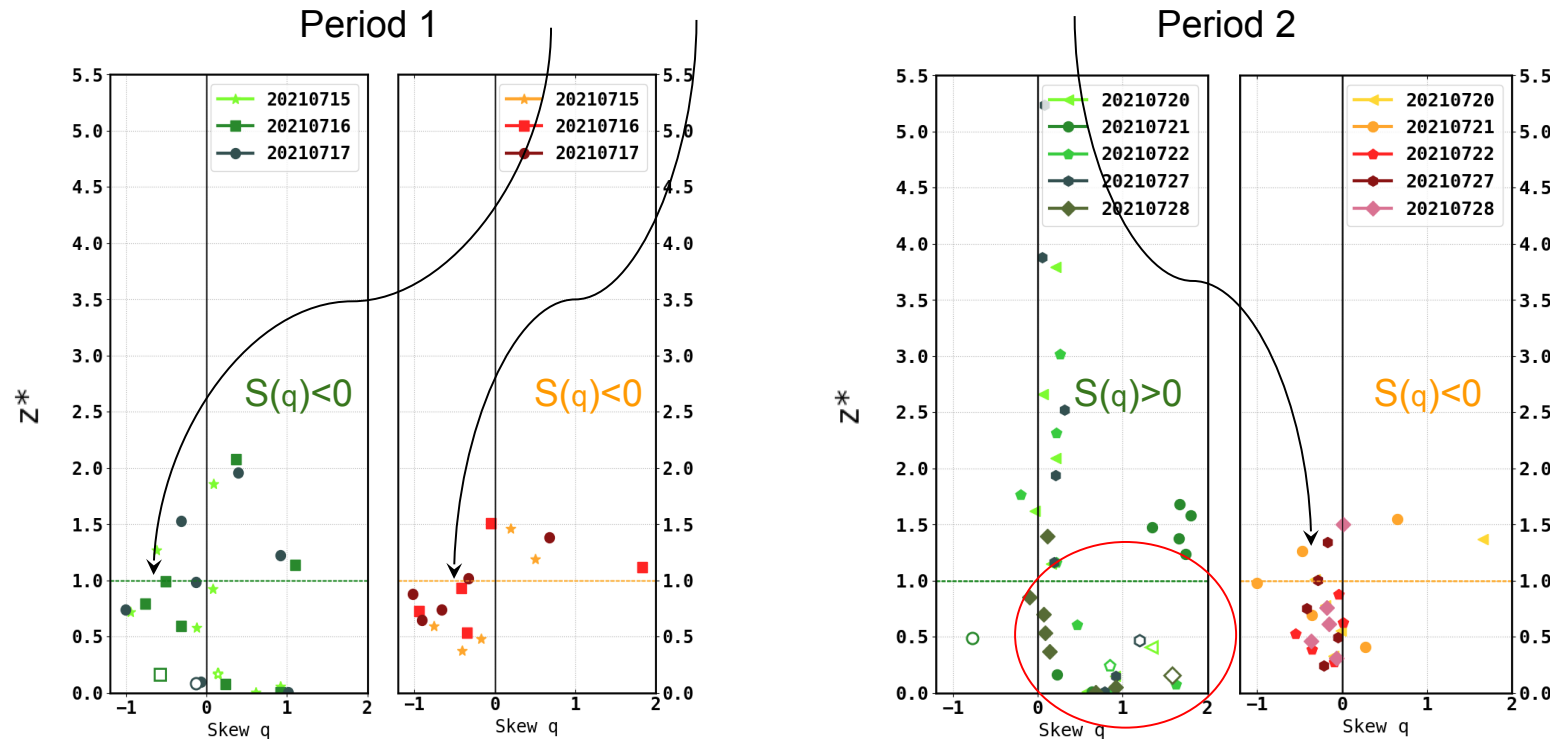
$\beta = 0.1 \rightarrow$ weak
 $\beta = 0.2 \rightarrow$ typical
 $\beta = 0.4 \rightarrow$ strong
 ⇒ takes account of varying entrainment rate

Moisture Skewness

Zi EP ~ [750 m ; 2000 m]
 Zi LC ~ [300 m ; 1000 m]

LC = La Cendrosa
 EP = Els Plans

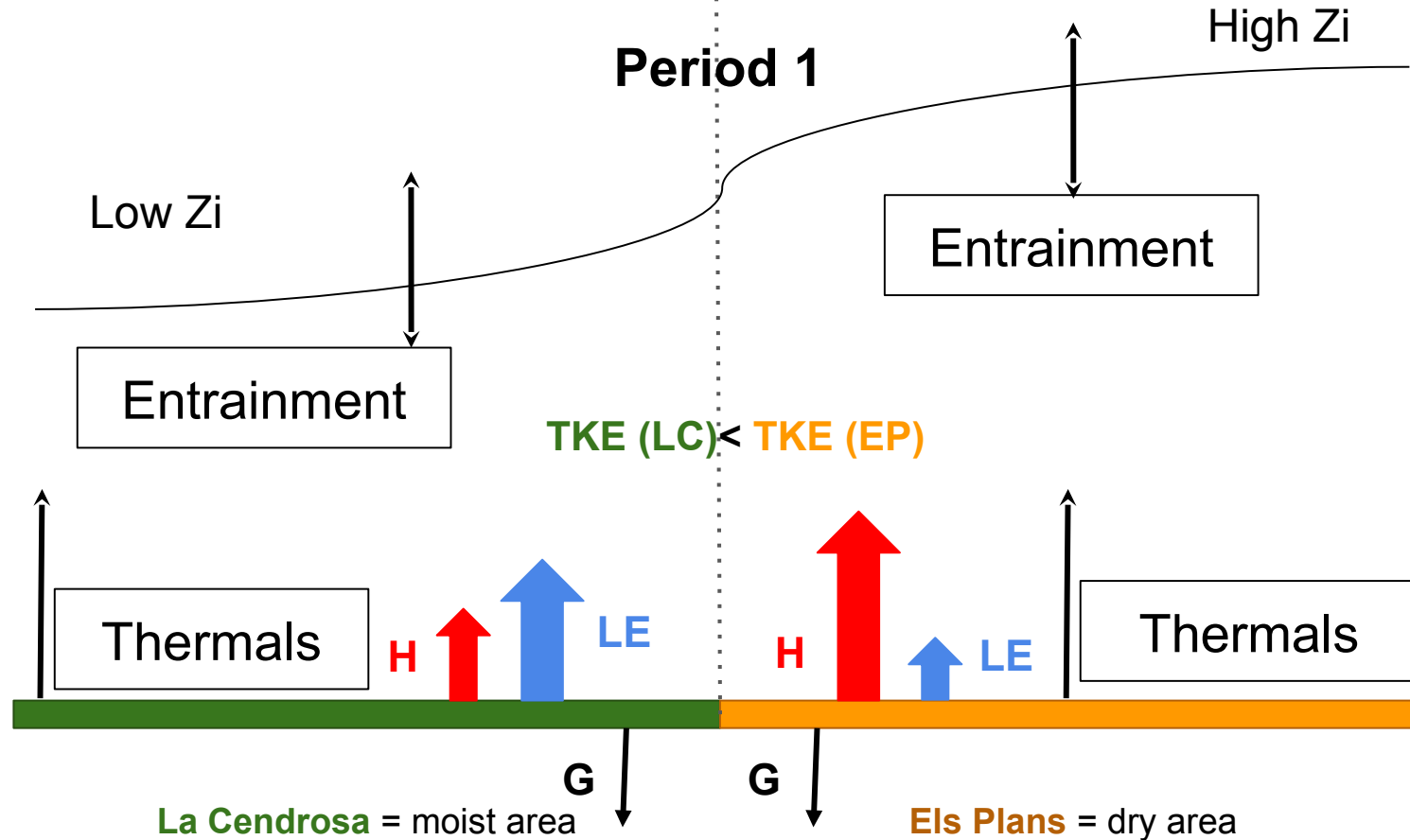
Entrainment (Druilhet et al. (1983))



Summary Scheme

Zi EP ~ [750 m ; 2000 m]
Zi LC ~ [300 m ; 1000 m]

LC = La Cendrosa
EP = Els Plans

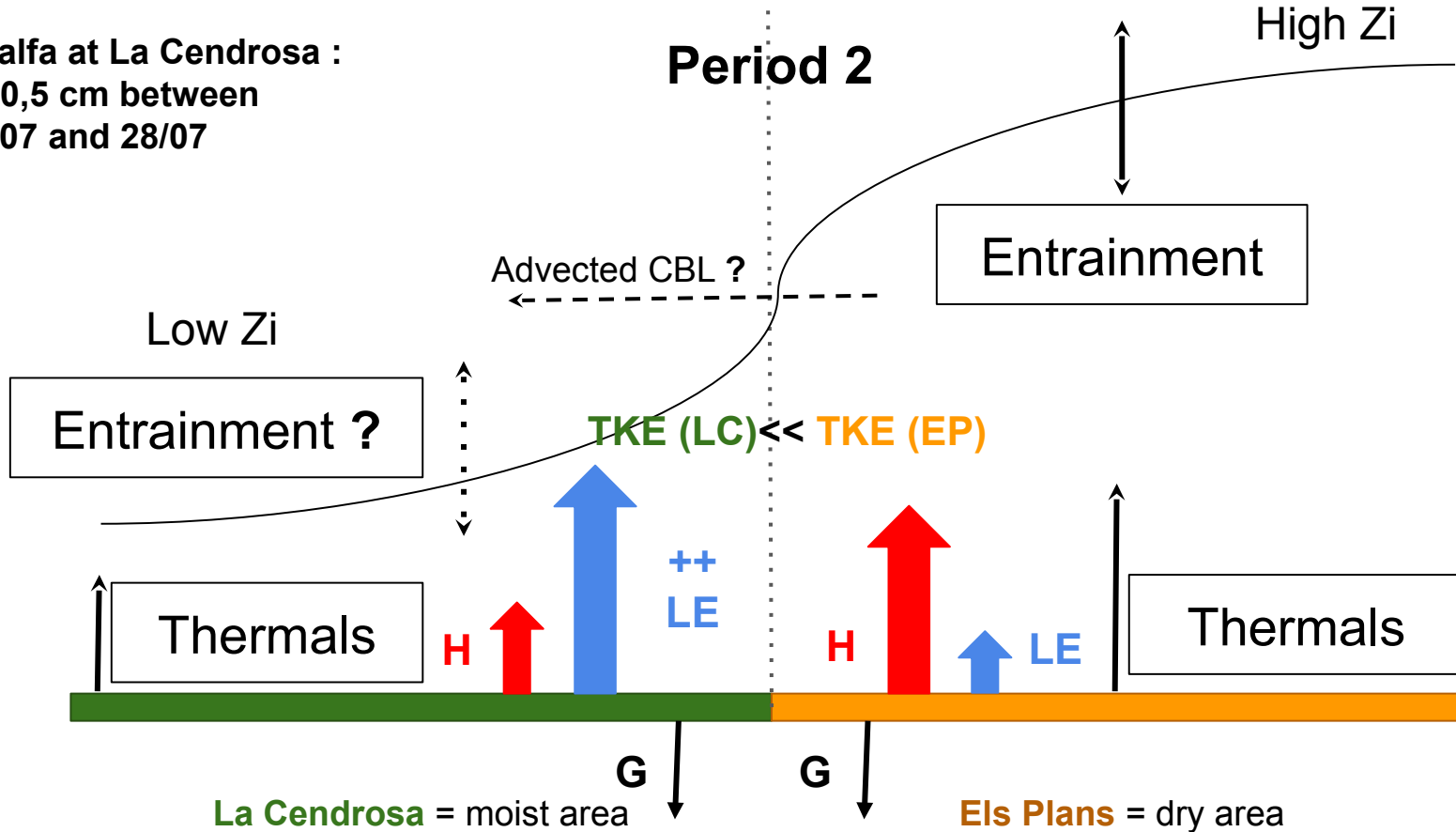


Summary Scheme

Zi EP ~ [750 m ; 2000 m]
 Zi LC ~ [300 m ; 1000 m]

LC = La Cendrosa
 EP = Els Plans

Alfalfa at La Cendrosa :
 + 50,5 cm between
 15/07 and 28/07



Conclusion and perspectives

Conclusion :

- A really nice dataset to explore turbulence over the surface heterogeneity induced by irrigation and the interactions between different CBL
- A statistical study (Variances, Covariances et Skewness) → important for the study of turbulent processes
- Very typical CBLs over each surface, with interesting comparison with empirical laws found in the litterature
- The distinction of 2 periods within the 8 IOPs showed consistent profiles within each period, but the study of moist area is challenging during the second period

Conclusion et perspectives

Perspectives :

- Explore the horizontal transports of momentum and heat and spatial variability → Detect potential circulations between the two areas
- Make use of the transverse legs from one area to the other → nice transitions from low to very high turbulence
- Use numerical simulation → with the irrigation scheme proposed by CNRM/GMME/surface in Meso-NH



A large, semi-transparent teal rectangular box is positioned in the center of the image, containing the text "Thank you for your attention !".

Thank you for your attention !



References

- Boone, A. et al., 2019. Land surface Interactions with the Atmosphere over the Iberian Semi-arid Environment (LIAISE). *Gewex News*, 29(1), 8-10.
- Canut, G., Interaction Mousson/Harmattan, échanges de petite échelle. *Climatologie*. Université Paul Sabatier - Toulouse III, 2010. Français. NNT : . tel-00521828
- Canut, G., et al., 2023 : Surface energy balance and thermodynamic measurements over a mobil platform on Lake Ivars during the LIAISE field campaign [Poster]. Workshop Gewex, Lerida, Espagne.
https://hymex.fr/liaise/LIAISE_conf/Workshop_March_2023/presentations/tuesday/Posters/Canut_poster_ivars_2023.pdf
- Druilhet, A., et al. 1983: Experimental Studies of the Turbulence Structure Parameters of the Convective Boundary Layer. *J. Appl. Meteor. Climatol.*, 22, 594–608, [https://doi.org/10.1175/1520-0450\(1983\)022<0594:ESOTTS>2.0.CO;2](https://doi.org/10.1175/1520-0450(1983)022<0594:ESOTTS>2.0.CO;2).
- Kaimal et al., 1976 : Turbulence Structure in the Convective Boundary Layer. *J. Atmos. Sci.*, 33, 2152–2169, [https://doi.org/10.1175/1520-0469\(1976\)033<2152:TSITCB>2.0.CO;2](https://doi.org/10.1175/1520-0469(1976)033<2152:TSITCB>2.0.CO;2).
- Lenschow, D. H. et al., 1980: Mean-Field and Second-Moment Budgets in a Baroclinic, Convective Boundary Layer. *J. Atmos. Sci.*, 37, 1313–1326, [https://doi.org/10.1175/1520-0469\(1980\)037<1313:MFASMB>2.0.CO;2](https://doi.org/10.1175/1520-0469(1980)037<1313:MFASMB>2.0.CO;2).
- Moeng, C., and J. C. Wyngaard, 1984: Statistics of Conservative Scalars in the Convective Boundary Layer. *J. Atmos. Sci.*, 41, 3161–3169, [https://doi.org/10.1175/1520-0469\(1984\)041<3161:SOCSIT>2.0.CO;2](https://doi.org/10.1175/1520-0469(1984)041<3161:SOCSIT>2.0.CO;2)
- Philibert et al., 2023 : A layer convective boundary layer height estimation algorithm from UHF wind profiler data. Sub. To ACP

Appendices

Vols à différentes hauteurs selon les jours et la zone étudiée

Hauteurs de couches limites différentes



Difficulté de comparaison



$$\text{Normalisation : } Z_* = \frac{z}{Z_i}$$

z_* = hauteur réduite

z = hauteur de la mesure

Z_i = hauteur de couche limite

⇒ situer les processus dans la CLA

⇒ Quantifie l'intensité de la turbulence (m^2/s^2)

$$TKE = \frac{1}{2}(\sigma_u^2 + \sigma_v^2 + \sigma_w^2)$$

Dynamique (cisaillement de vent) Thermique

$$x' = x - \bar{x}$$

Fluctuations :

$$\sigma_x^2 = \frac{1}{N} \sum (x - \bar{x})^2 = \overline{\sum (x')^2}$$

Variances :

$$\overline{x'y'} = \frac{1}{N} \sum ((x - \bar{x}) * (y - \bar{y})) = \overline{\sum (x' * y')}$$

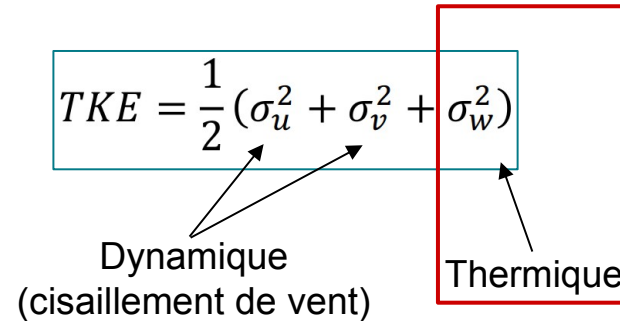
Covariances

Palier avion 6 min, 25 Hz
⇒ 9 000 échantillons

⇒ Quantifie l'intensité de la turbulence (m^2/s^2)

$$TKE = \frac{1}{2} (\sigma_u^2 + \sigma_v^2 + \sigma_w^2)$$

Dynamique (cisaillement de vent) Thermique



$$x' = x - \bar{x}$$

Fluctuations :

$$\sigma_x^2 = \frac{1}{N} \sum (x - \bar{x})^2 = \overline{\sum (x')^2}$$

Variances :

$$\overline{x'y'} = \frac{1}{N} \sum ((x - \bar{x}) * (y - \bar{y})) = \overline{\sum (x' * y')}$$

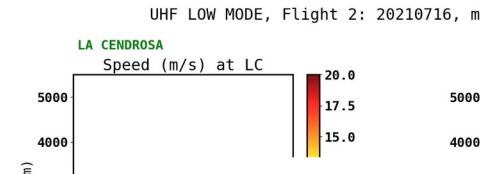
Covariances

Coupe hauteur temps du vent par le radar UHF (Low Mode, 2 min)

LC = La Cendrosa

EP = Els Plans

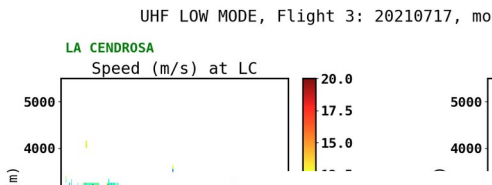
La Cendrosa



Els Plans



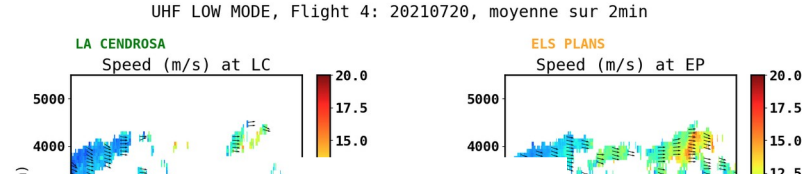
16/07/2021



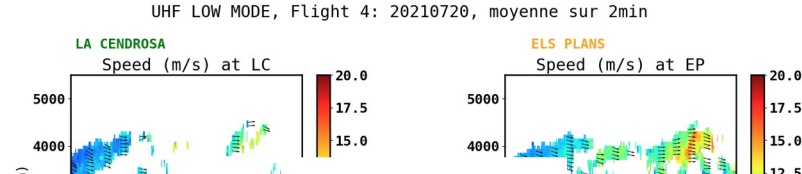
17/07/2021



La Cendrosa



20/07/2021

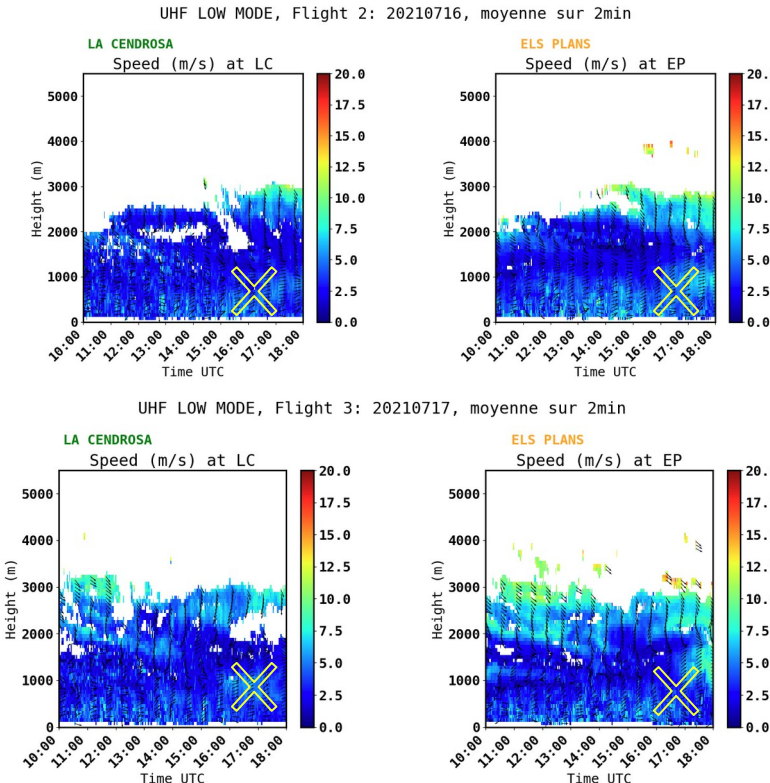


Els Plans

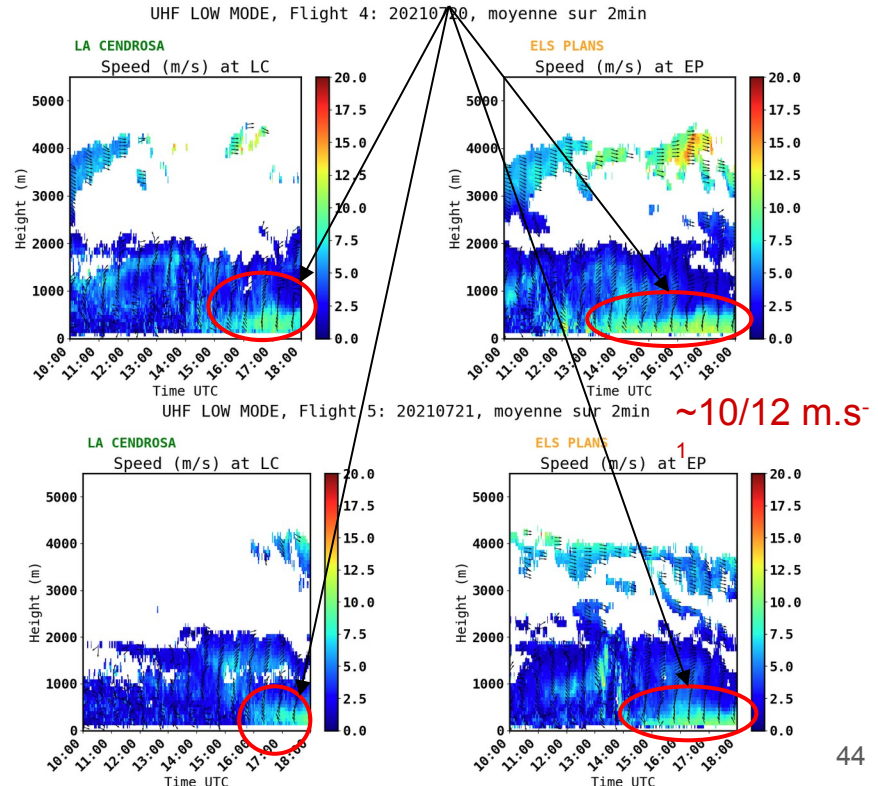
Coupe hauteur temps du vent par le radar UHF (Low Mode, 2 min)

LC = La Cendrosa

EP = Els Plans



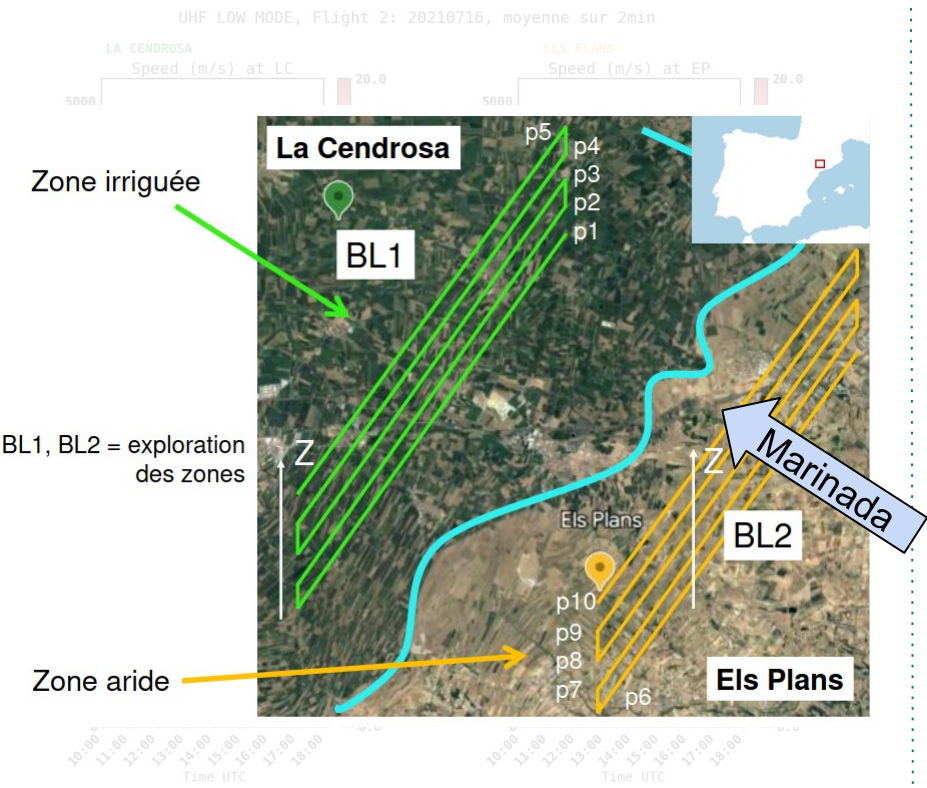
Arrivée de la Marinada plus tôt à EP qu'à LC



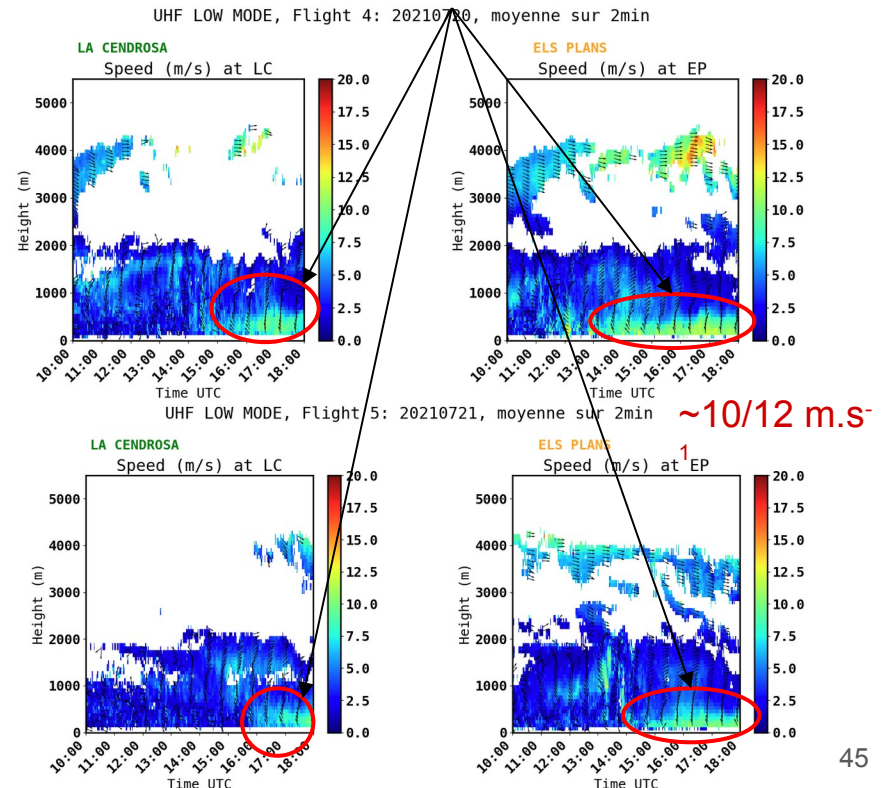
Coupe hauteur temps du vent par le radar UHF (Low Mode, 2 min)

LC = La Cendrosa

EP = Els Plans



Arrivée de la Marinada plus tôt à EP qu'à LC

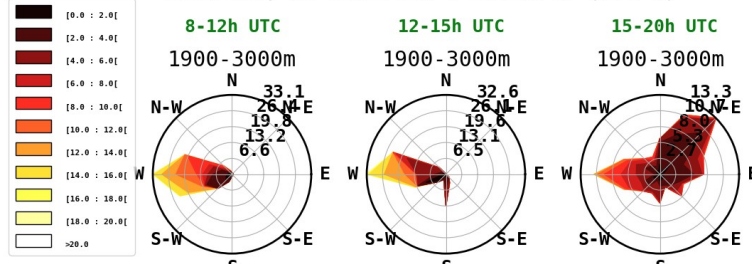


Estimation de Zi par l'algorithme CALOTRITON (Philibert et al. (2023))

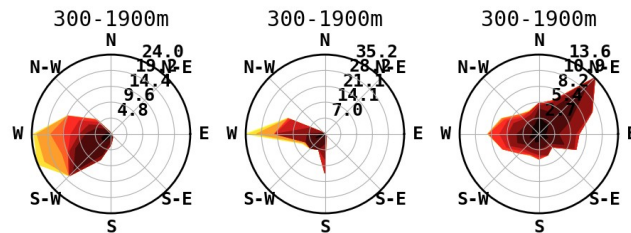
$$NP_x = \frac{[C_n^2 / \overline{C_n^{2\text{profil}}}]}{[\sigma_w^x / \overline{\sigma_w^{x\text{profil}}}]}$$
 (3.1)

(3.1) : Avec C_n^2 le coefficient de structure d'indice de réfraction de l'air, σ la variance de la vitesse verticale, et x l'ordre de l'équation. $x = 3$ représente la meilleure estimation (Philibert et al. (2023)). Les lignes représentent un opérateur de moyenne, qui permet d'adimensionnaliser NP3.

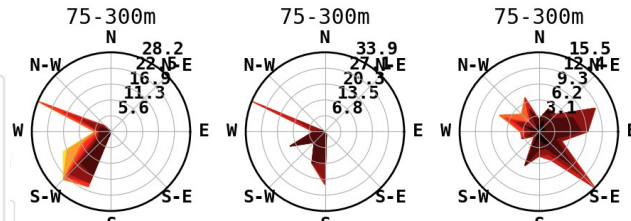
Windrose, La Cendrosa : 20210717 (vol 3)



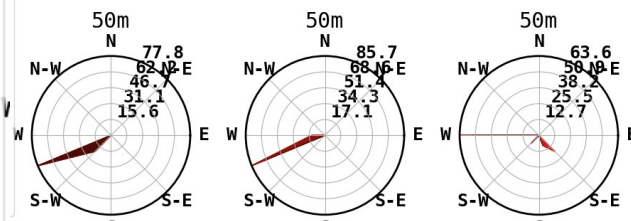
3000 -
1900m



1900 -
300 m

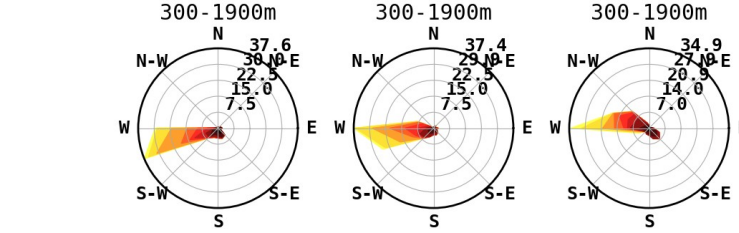
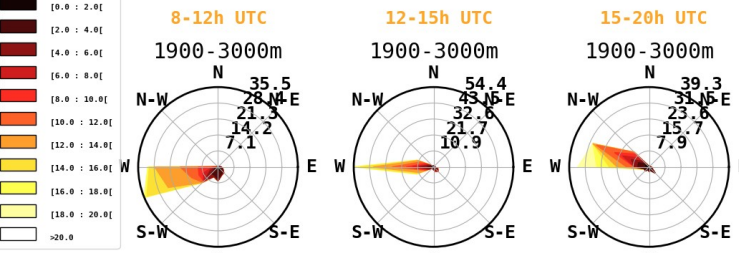


300 -
75 m

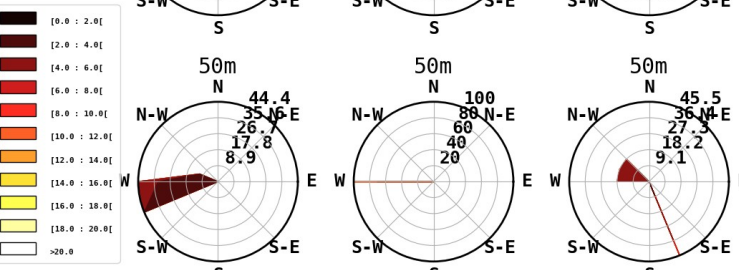


50 m

Windrose, Els Plans : 20210717 (vol 3)

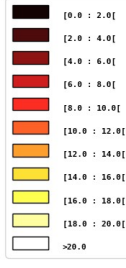


Légende 50m



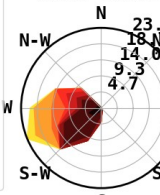
17/07/21

Windrose, La Cendrosa : 20210720 (vol 4)



8-12h UTC

1900-3000m



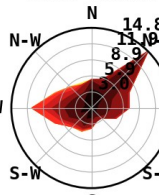
12-15h UTC

1900-3000m



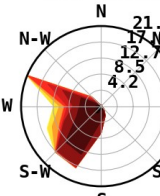
15-20h UTC

1900-3000m



3000 -
1900m

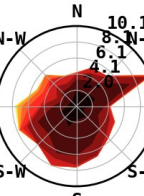
300-1900m



300-1900m

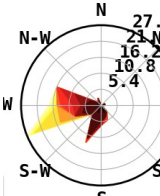


300-1900m



1900 -
300 m

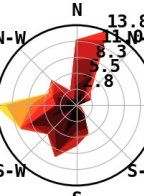
75-300m



75-300m

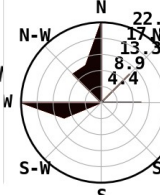


75-300m



300 -
75 m

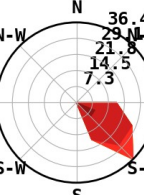
50m



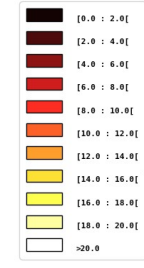
50m



50m



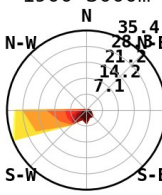
50 m



Windrose, Els Plans : 20210720 (vol 4)

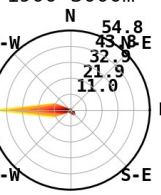
8-12h UTC

1900-3000m



12-15h UTC

1900-3000m

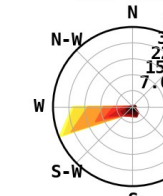


15-20h UTC

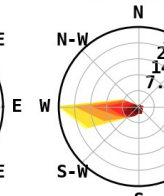
1900-3000m



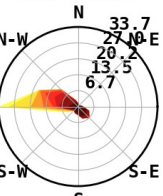
300-1900m



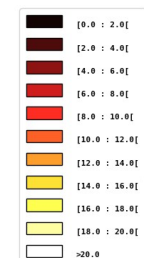
300-1900m



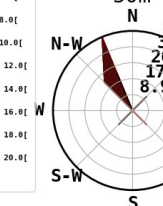
300-1900m



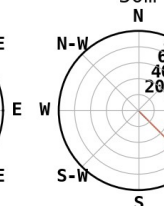
Légende 50m



50m



50m



50m

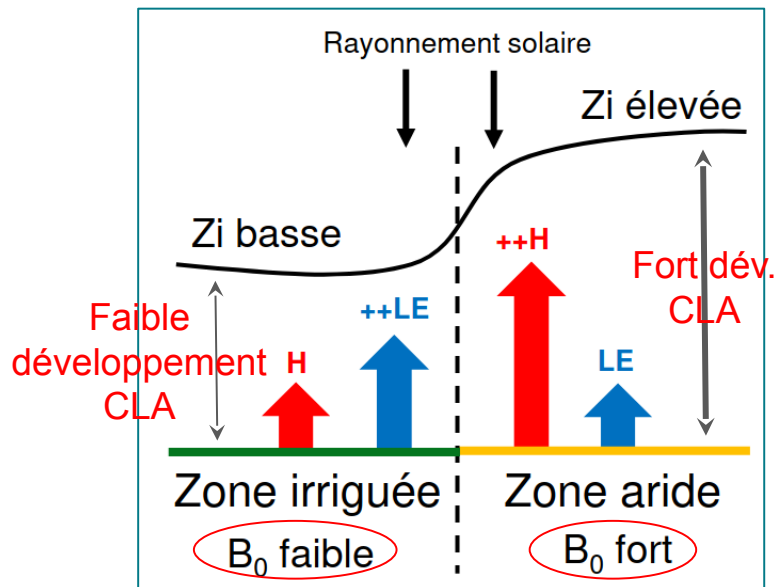


20/07/21

Rapport de Bowen

LC = La Cendrosa
EP = Els Plans

- Les flux de chaleur latente LE (en haut) et sensible H (en bas) en W/m²



Caractérisation des échanges entre le sol et la partie d'atmosphère juste au-dessus

Rapport de Bowen :

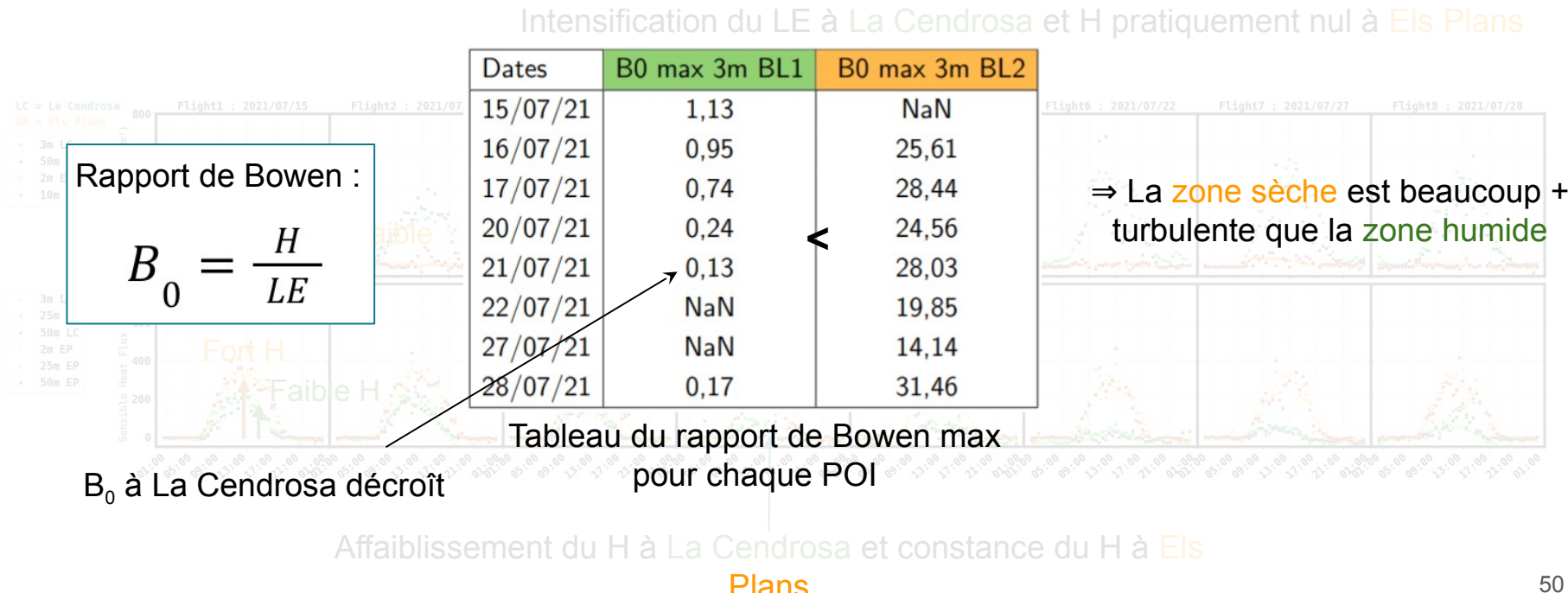
$$B_0 = \frac{H}{LE}$$

CLA = Couche Limite Atmosphérique
Zi = hauteur de la CLA
H : Flux de chaleur sensible
LE : Flux de chaleur latente

Rapport de Bowen

LC = La Cendrosa
EP = Els Plans

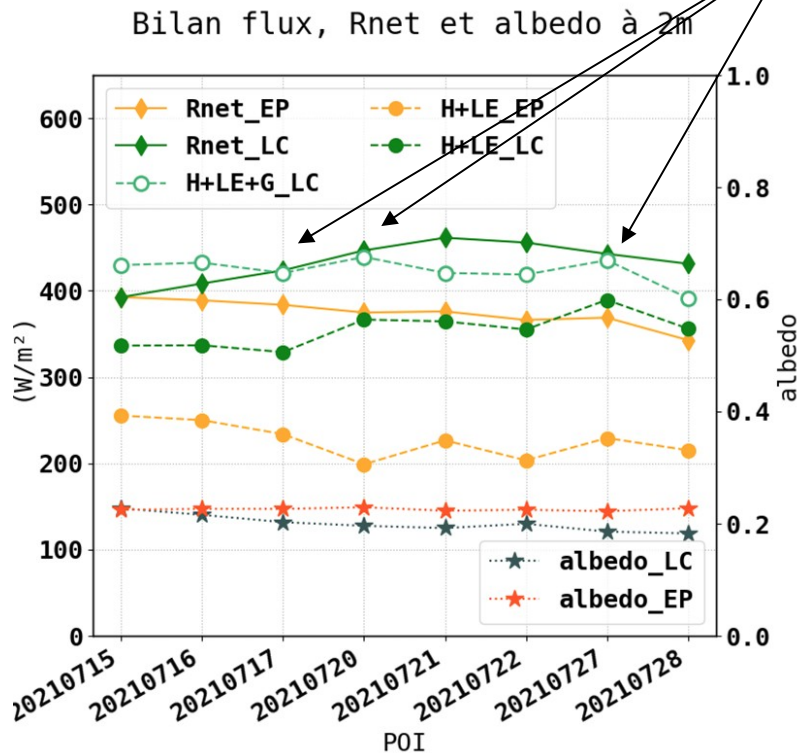
- Les flux de chaleur latente LE (en haut) et sensible H (en bas) en W/m²



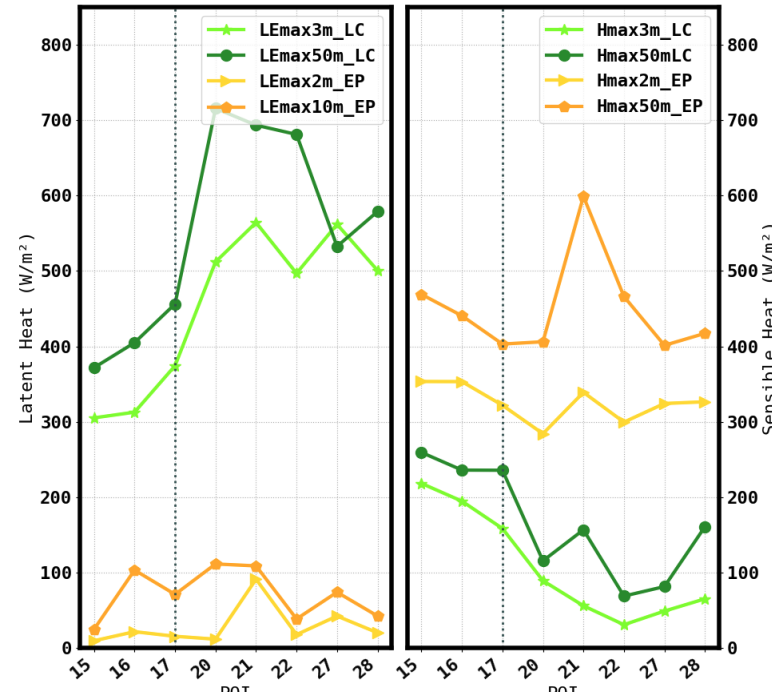
Bilan énergie moyen, Rnet moyen, albédo moyen (à gauche) et Flux max (à droite)

LC = La
Cendrosa
EP = Els Plans

Fermeture du bilan pour 3 jours à LC

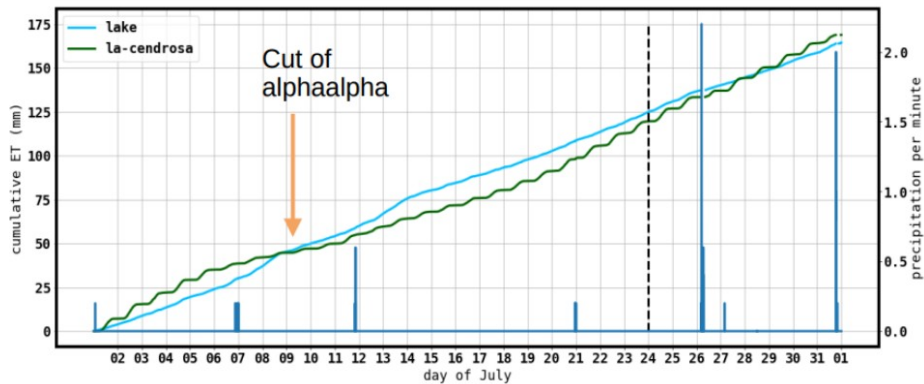


Flux max : Latent Heat (left) & Sensible Heat (right)



Taux évapotranspiration sur le lac Ivars

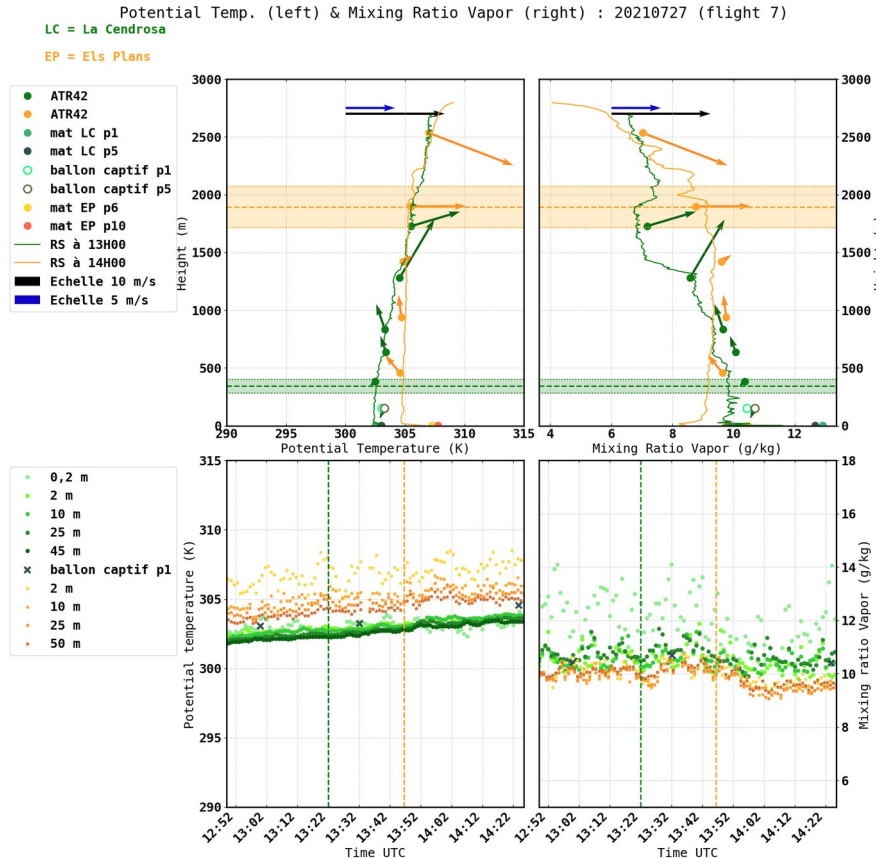
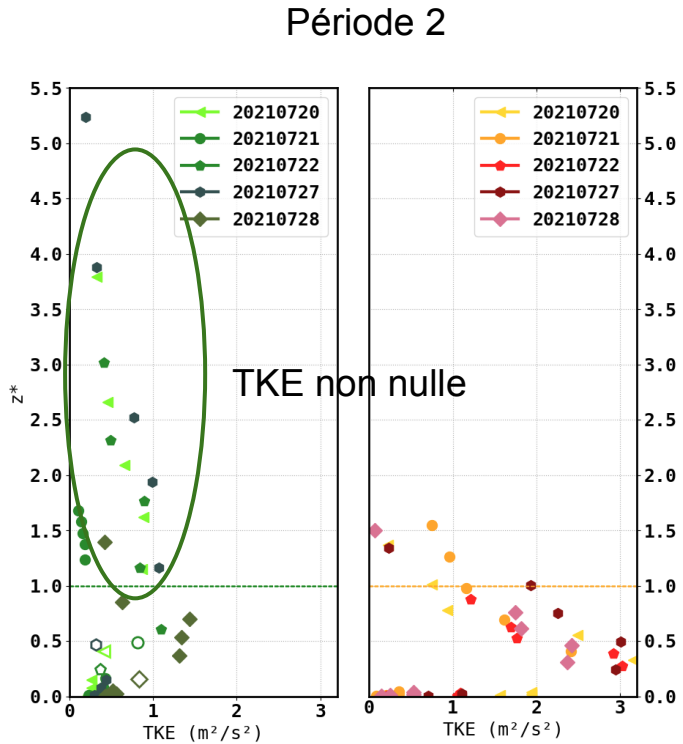
LC = La Cendrosa
EP = Els Plans



Canut et al. (2023), Surface energy balance and thermodynamic measurements over a mobil platform on Lake Ivars during the LIAISE field campaign. [Poster]. Workshop Gewex, Lerida, Espagne.

TKE non nulle et CLA interne

LC = La Cendrosa
FP = Fls Plans



Transport d'humidité et Skewness de w et q

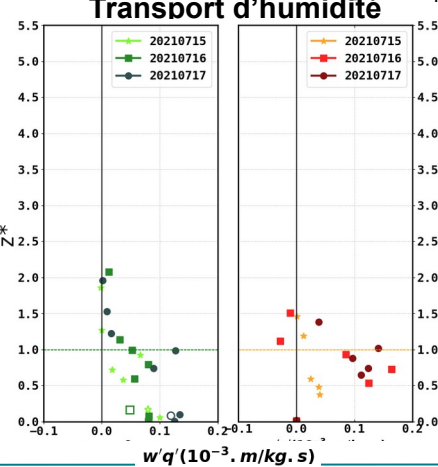
Chaleur latente : $LE = \rho * C_p * w'q'$

$Z_i EP \sim [750 \text{ m},; 2000 \text{ m}]$
 $Z_i LC \sim [300 \text{ m}; 1000 \text{ m}]$

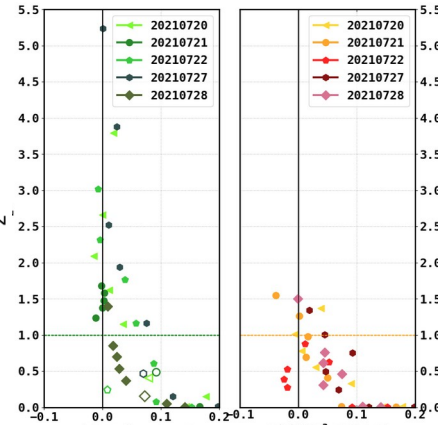
LC = La Cendrosa

EP = Els Plans

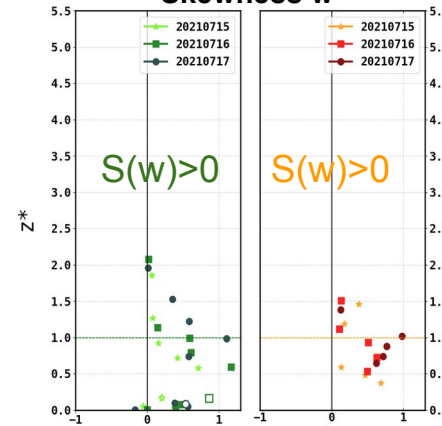
Période 1



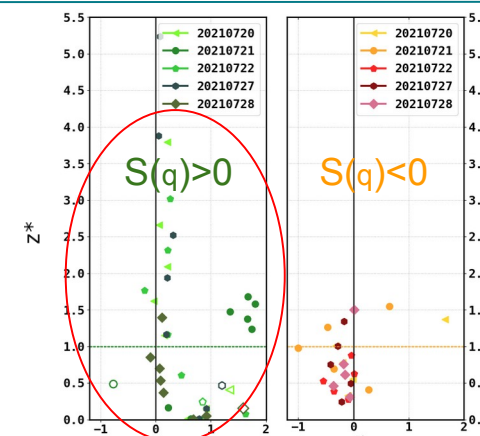
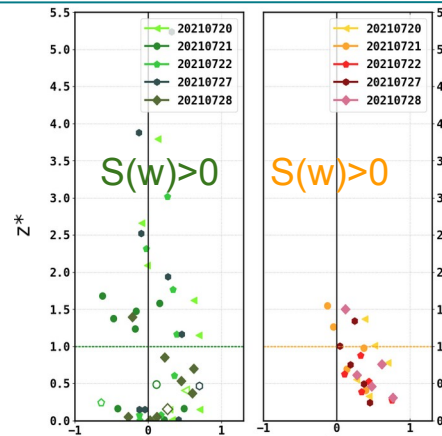
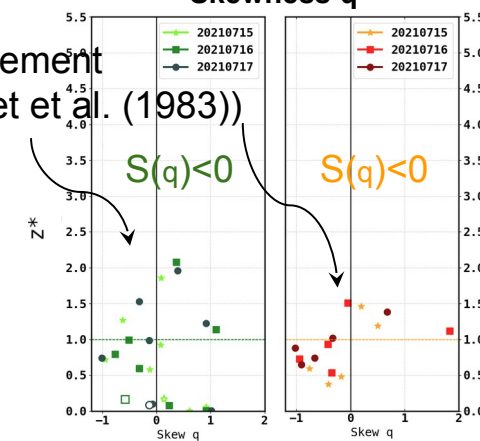
Période



Skewness w



Entraînement
(Druilhet et al. (1983))

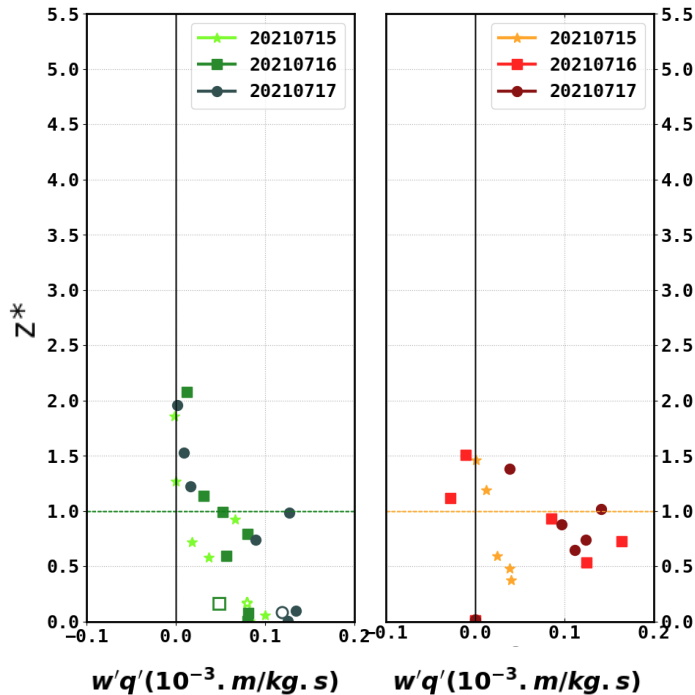


Transport d'humidité

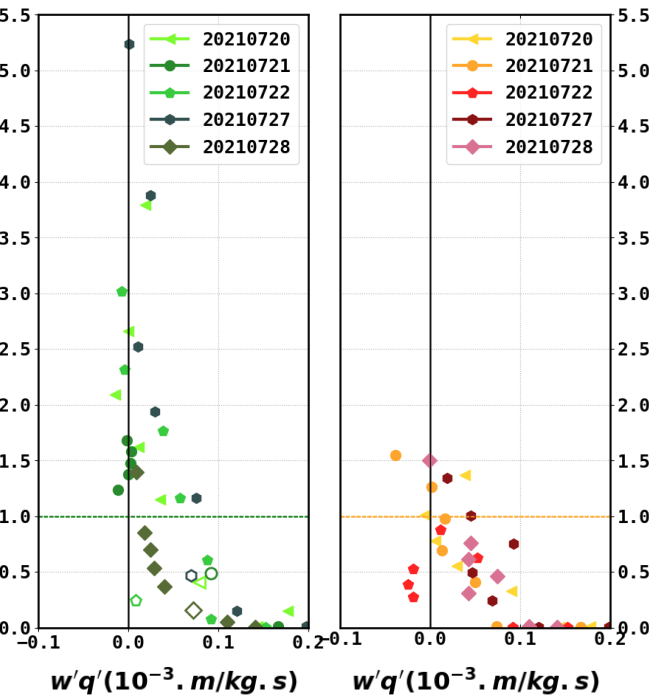
Zi EP ~ [750 m,; 2000 m]
Zi LC ~ [300 m ; 1000 m]

LC = La Cendrosa
EP = Els Plans

Période 1



Période 2



Chaleur latente : $LE = \rho * C_p * w'q'$
 C_p : capacité calorifique de l'air sec à pression constante (~1004 J.kg⁻¹.K⁻¹)

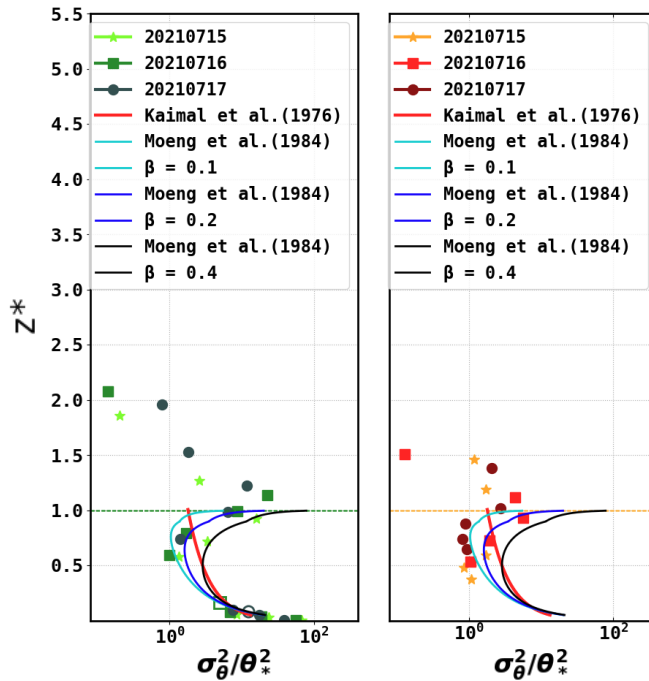
⇒ Profils typiques

Variance de la température potentielle normalisée par θ_*^2

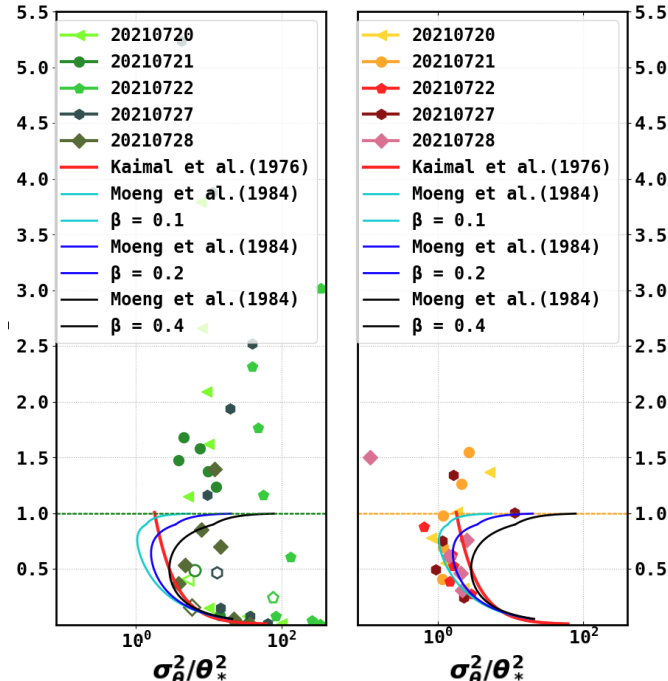
Zi EP ~ [750 m,; 2000 m]
Zi LC ~ [300 m ; 1000 m]

LC = La Cendrosa
EP = Els Plans

Période 1



Période 2



Loi Kaimal et al. (1976)

⇒ prise en compte de la convection libre

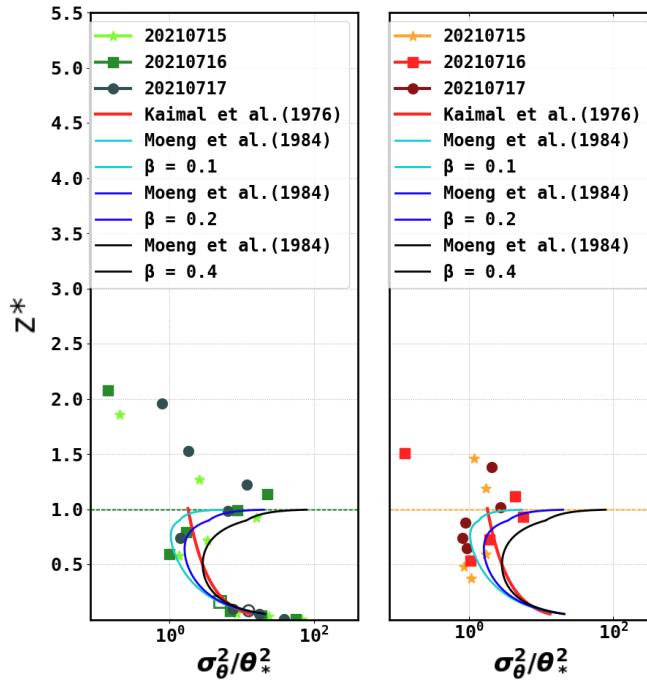
$$\frac{\sigma_\theta^2}{\theta_*^2} = 1,8 z_*^{-\frac{2}{3}}$$

Variance de la température potentielle normalisée par θ_*^2

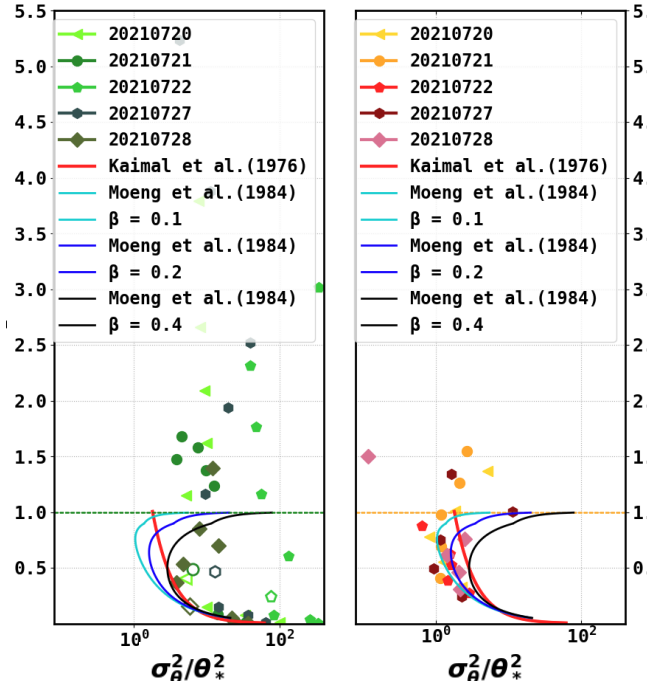
Zi EP ~ [750 m,; 2000 m]
Zi LC ~ [300 m ; 1000 m]

LC = La Cendrosa
EP = Els Plans

Période 1



Période 2



Loi Moeng et al. (1984)

$\beta = 0,1 \rightarrow$ faible
 $\beta = 0,2 \rightarrow$ classique
 $\beta = 0,4 \rightarrow$ fort

⇒ prise en compte de l'entraînement

$$\frac{\sigma_\theta^2}{\theta_*^2} = f_b + 2\beta f_{tb} + \beta^2 f_t$$

Avec $f_b = 0,47 z_*^{-\frac{5}{4}}$, f_{tb} qui vaut 1

$$f_t = 2,1(1 - z_*)^{-\frac{3}{2}} \text{ pour } z_* < 0,9 \text{ Zi}$$

$$f_t = 14(1 - z_*)^{-\frac{2}{3}} \text{ pour } z_* > 0,9 \text{ Zi}$$

Les premiers résultats : mesures en surface (mâts instrumentés)

LC = La Cendrosa

EP = Els Plans

La Cendrosa

Dates La Cendrosa	Vols	Z_i BL1(m)	$\bar{\theta}$ (K)	$\bar{r_v}$ (g.kg $^{-1}$)	B_0 (à 3m)	w_* (m.s $^{-1}$)	θ_* (K)	$(w'\theta')_S$ (K.m.s $^{-1}$)	$(w'q')_S$ (m.s $^{-1}$).(g.kg $^{-1}$)	Hauteur de la luzerne (cm)
15/07/21	1	909	289	8,3	1,1	1,72	0,098	0,17	0,083	17,4
16/07/21	2	638	291	10,1	1,0	1,4	0,093	0,13	0,081	22,6
17/07/21	3	525	292	11,0	0,7	1,24	0,09	0,11	0,13	28,2
20/07/21	4	343	295	9,6	0,2	0,73	0,048	0,035	0,14	39,9
21/07/21	5	311	294	11,2	0,1	0,76	0,058	0,044	0,17	40,9
22/07/21	6	650	295	9,5	NaN	0,52	0,013	0,0068	0,15	47,6
27/07/21	7	343	292	10,7	NaN	0,61	0,034	0,021	0,20	62,9
28/07/21	8	1057	294	12,0	0,2	1,38	0,055	0,076	0,14	67,9

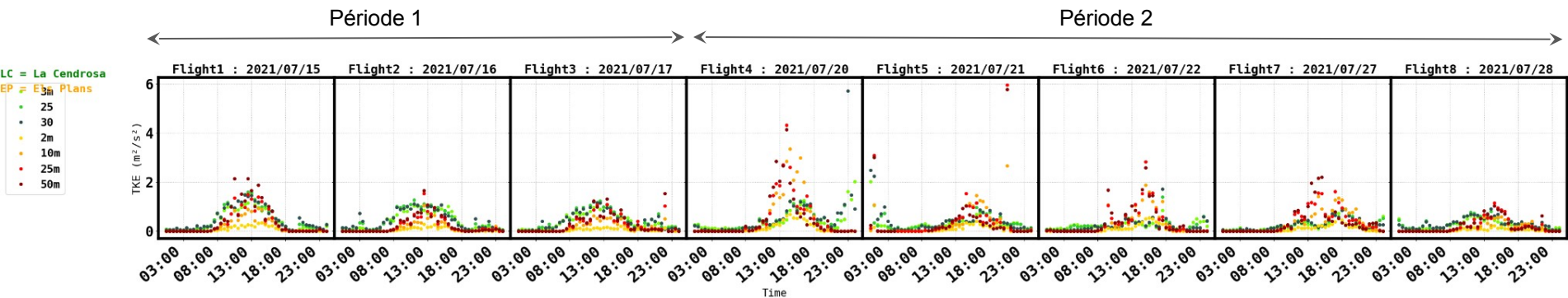
Els Plans

Dates Els Plans	Vols	Z_i BL2(m)	$\bar{\theta}$ (K)	$\bar{r_v}$ (g.kg $^{-1}$)	B_0 (à 3m)	w_* (m.s $^{-1}$)	θ_* (K)	$(w'\theta')_S$ (K.m.s $^{-1}$)	Vent à 500 hPa (valable pour BL1 et BL2)
15/07/21	1	1157	291	8,0	NaN	2,4	0,15	0,36	N (faible)
16/07/21	2	824	292	10,7	25,6	1,97	0,14	0,28	NO (modérée)
17/07/21	3	696	294	12,5	28,4	1,76	0,14	0,24	NO (modérée)
20/07/21	4	1425	298	9,2	24,6	2,25	0,11	0,25	O (faible)
21/07/21	5	1136	297	10,5	28,0	2,3	0,15	0,37	NO (modérée)
22/07/21	6	1682	297	8,2	19,9	2,37	0,11	0,25	O (modérée)
27/07/21	7	1894	293	10,3	14,1	2,45	0,099	0,24	O (modérée)
28/07/21	8	1479	296	13,4	31,5	2,1	0,092	0,19	O (modérée)

Les premiers résultats : mesures en surface (mâts instrumentés)

LC = La Cendrosa
EP = Els Plans

- L'énergie cinétique turbulente = TKE (m^2/s^2)



période 1 → tke identique avec max à 13h
période 2 → différente avec un max le 20/07 et un décalage de du max de tke entre 13 et 17h

